UNSER WASSER VERSCHWINDET – EINE GEFAHR FÜR DIE ENERGIEVERSORGUNG

Matthias Weigelt
Institut für Satellitengeodäsie und Inertialsensorik
Deutsches Zentrum für Luft- und Raumfahrt



Startseite ▶ Wissen ▶ Klima & Umwelt ▶ Zahl der Dürren nimmt zu: "Wasser ist keine Selbstverständlichkeit mehr"



Zahl der Dürren nimmt zu

"Wasser ist keine Selbstverständlichkeit mehr"

Stand: 17.06.2025 15:09 Uhr

Innerhalb von 120 Jahren haben sich die von Dürre betroffenen Flächen weltweit verdoppelt. Das zeigt eine neue Auswertung der OECD. Als Hauptverursacher nennt die Organisation den Klimawandel.

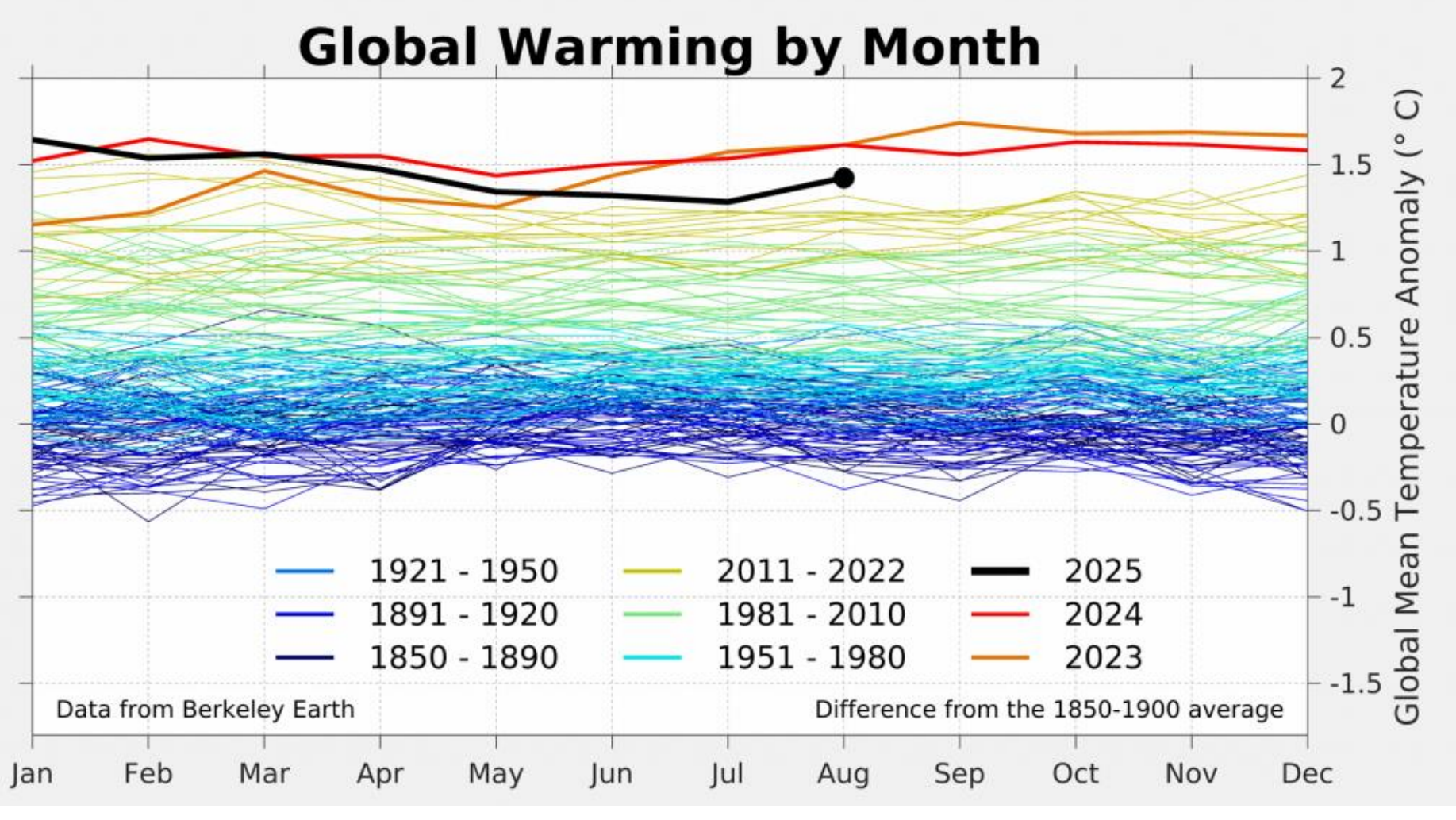
Weltweit hat sich die von Dürren betroffene Landfläche innerhalb von 120

Global Drought Outlook (OECD):

"Dürreperioden werden weltweit immer häufiger und schwerer", schreiben die Autoren.

"Praktische Lösungen für ein nachhaltiges Management von Wasser, Ökosystemen und Land können die Verwundbarkeit verringern und wirtschaftliche Schäden abfedern", erklärte OECD-Generalsekretär Mathias Cormann.

Globale Erwärmung

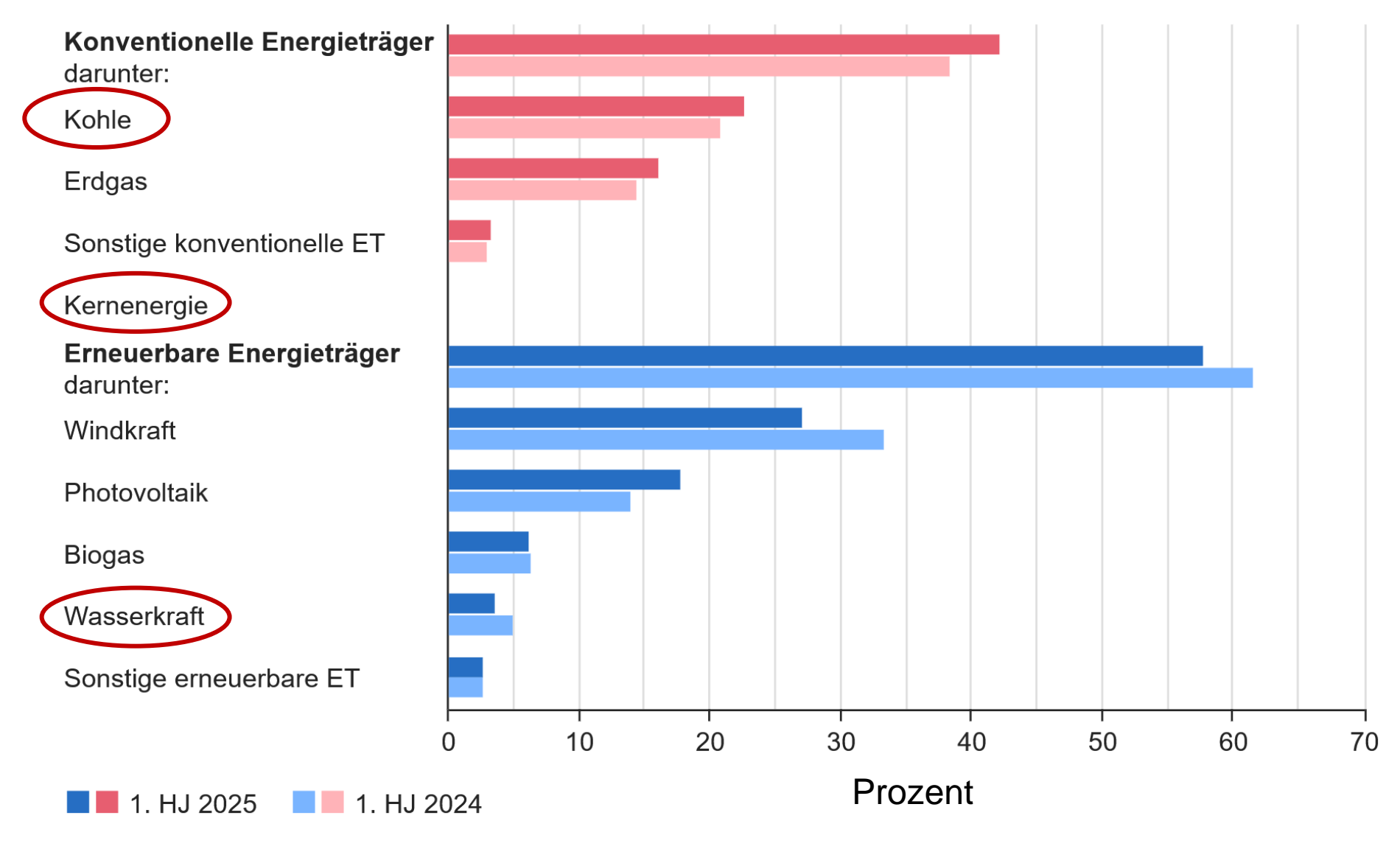


- 2023-2025:
 20 aufeinanderfolgende
 Monate mit
 Temperaturrekord
- 22 aufeinanderfolgende Monate mit mittleren Temperaturen über dem 1.5° Ziel
- Extra-aufgeladener
 Wasserzyklus
- Leichte Entspannung nach El Niño

https://berkeleyearth.org/august-2025-temperature-update/

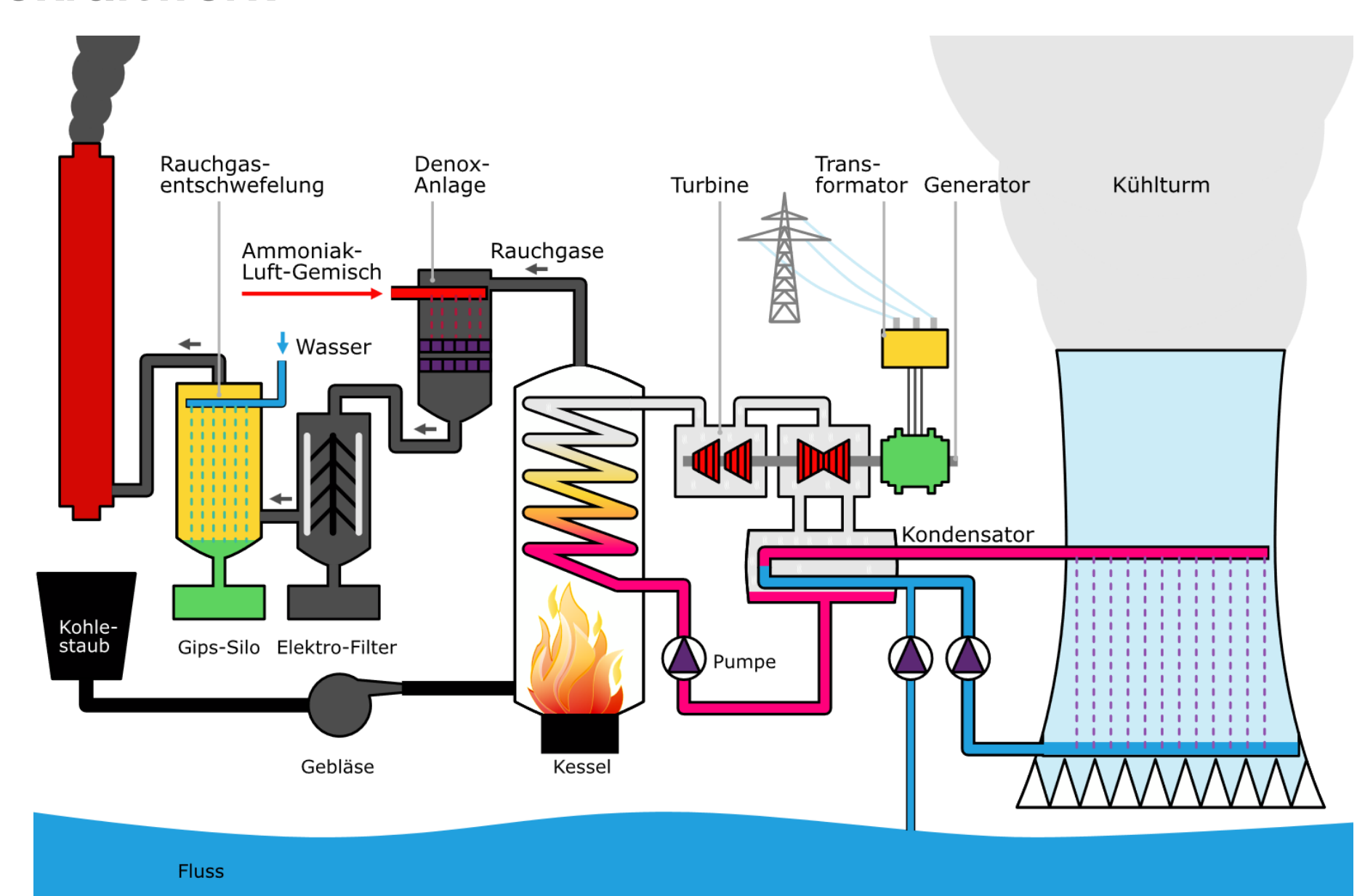
Energieträger



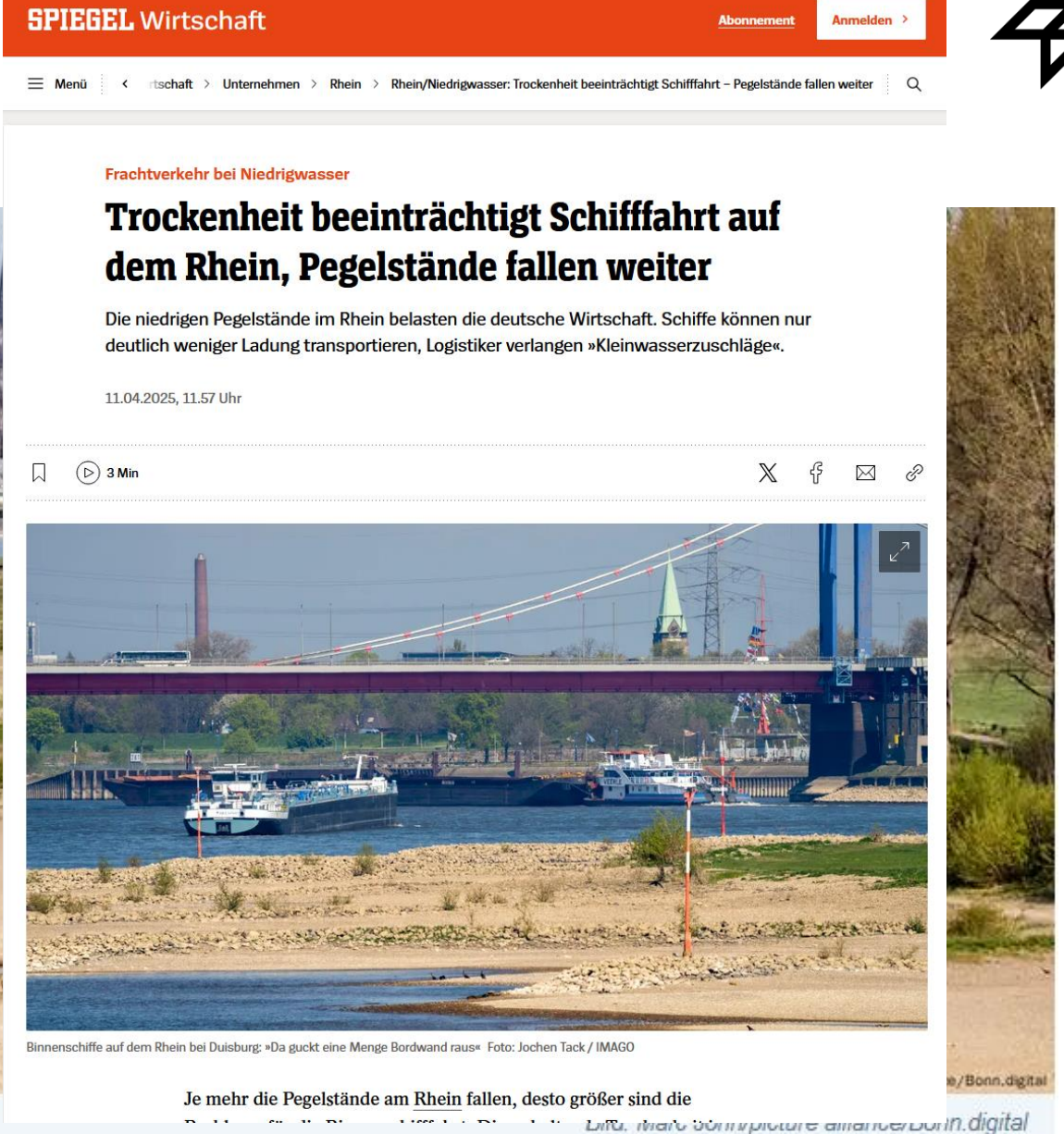


Kohlekraftwerk





Wassermangel im April 2025





Köln am Rhein im April, die Dürre trifft die Region schon früh im Jahr

Kernkraftwerk



Hitzewelle

Frankreich fährt wegen extremer Hitze Kernkraftwerke herunter

Der französische Wetterdienst warnt vor extremer und außergewöhnlicher Hitze, in Paris gilt die höchste Warnstufe. Kernkraftwerke werden im Land heruntergefahren.

Aktualisiert am 30. Juni 2025, 21:11 Uhr ① Quelle: DIE ZEIT, AFP, dpa, dar

▶ 3 Min. □ 1.239 ⇒ Zusammenfassen □

Wegen extremer Hitze in Frankreich hat der staatliche Stromkonzern EDF das Kernkraftwerk Golfech im Süden des Landes heruntergefahren. Das sei bereits am Sonntag geschehen, teilte EDF mit, um ein Aufheizen des Flusses Garonne zu verhindern, aus dem das Kraftwerk sein Kühlwasser bezieht. Wegen des Wetters wurde ein Aufheizen der Garonne auf eine Wassertemperatur von 28 Grad erwartet. Wie lange das Kraftwerk ausgeschaltet bleibt, teilte EDF nicht mit.

HITZEWELLE

Spiegel, 08. Oktober 2025

Mosel warm wie das Mittelmeer -Cattenom steht unter **Beobachtung**

Bei bis zu 28 Grad Celsius Wassertemperatur steht das Atomkraftwerk Cattenom im Fokus - im Notfall müsste es seine Leistung senken oder ganz stoppen.













Wasserkraft





Fehlendes Wasser ist eine Naturgewalt

© Bureau of Reclamation





Auch zu viel Wasser ist eine Naturgewalt







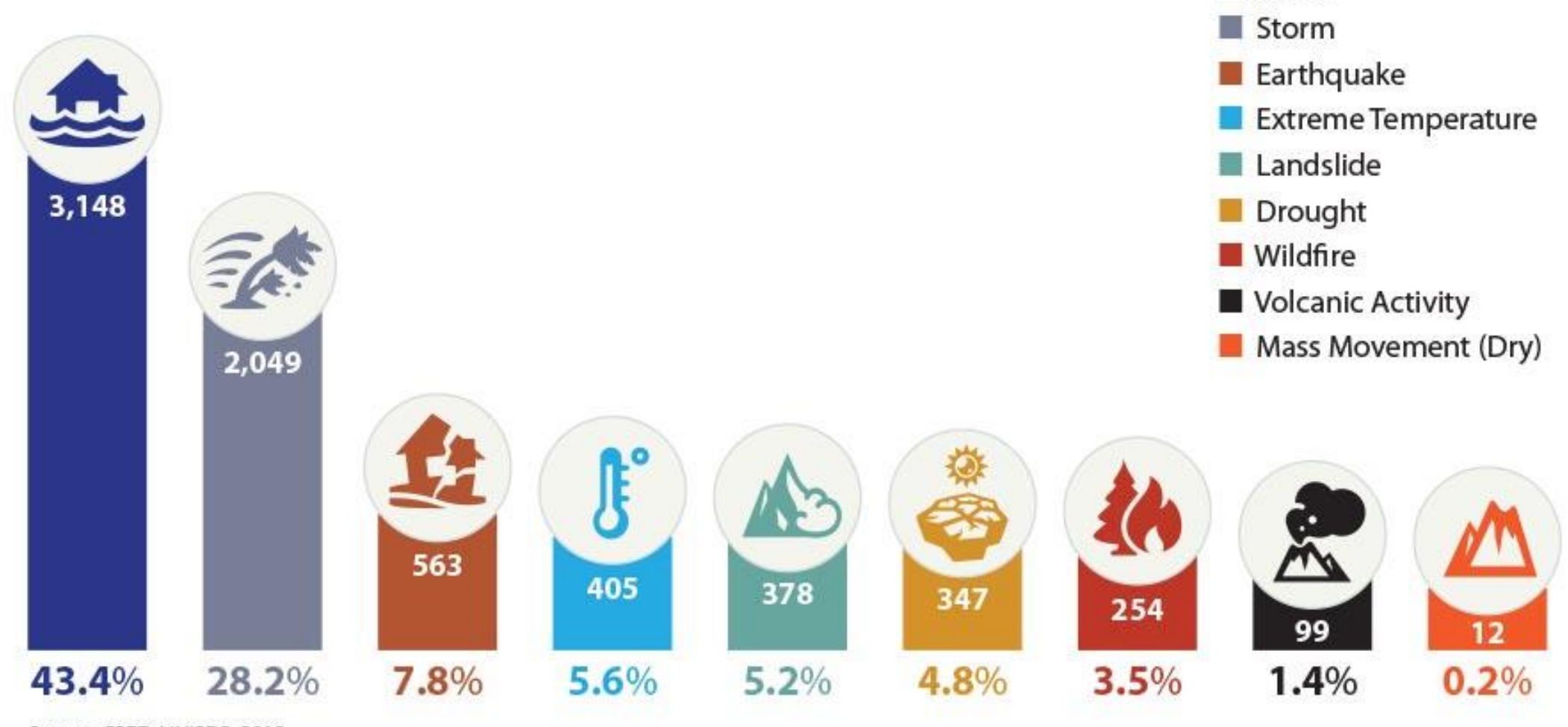




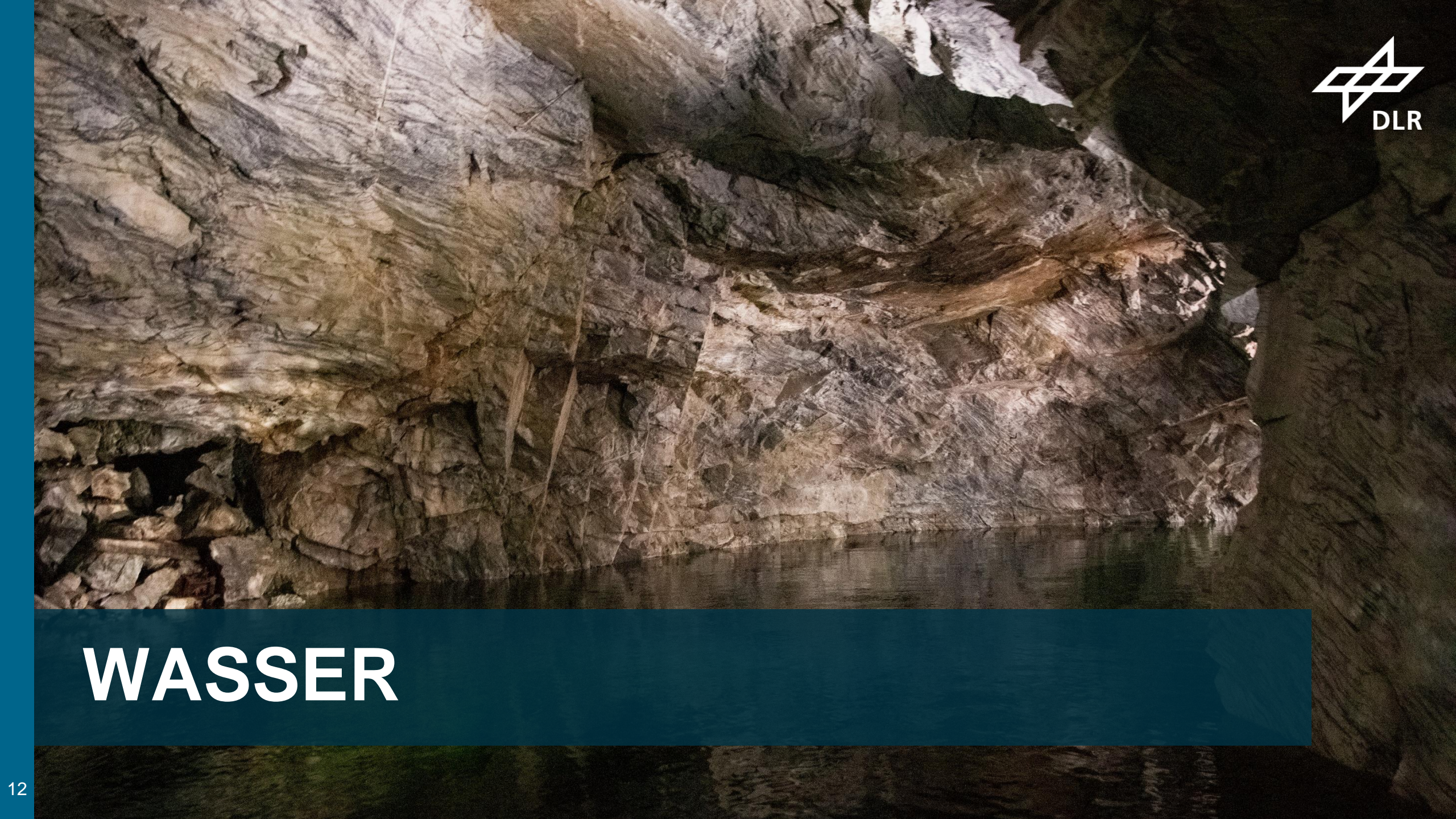
Wetterextreme



■ Flood



Source: CRED, UNISDR, 2018



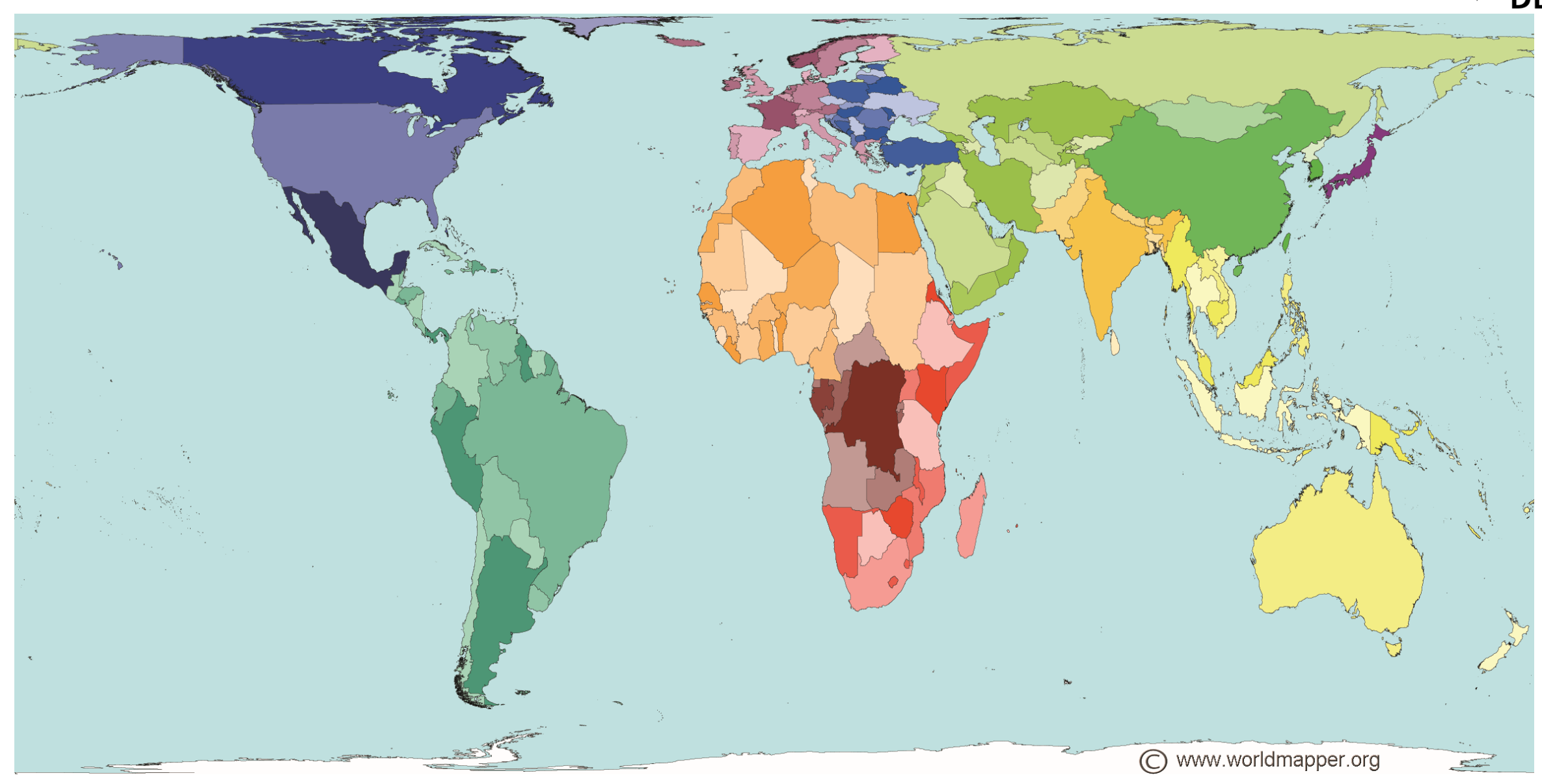
Wasser ist die Basis unseres Lebens





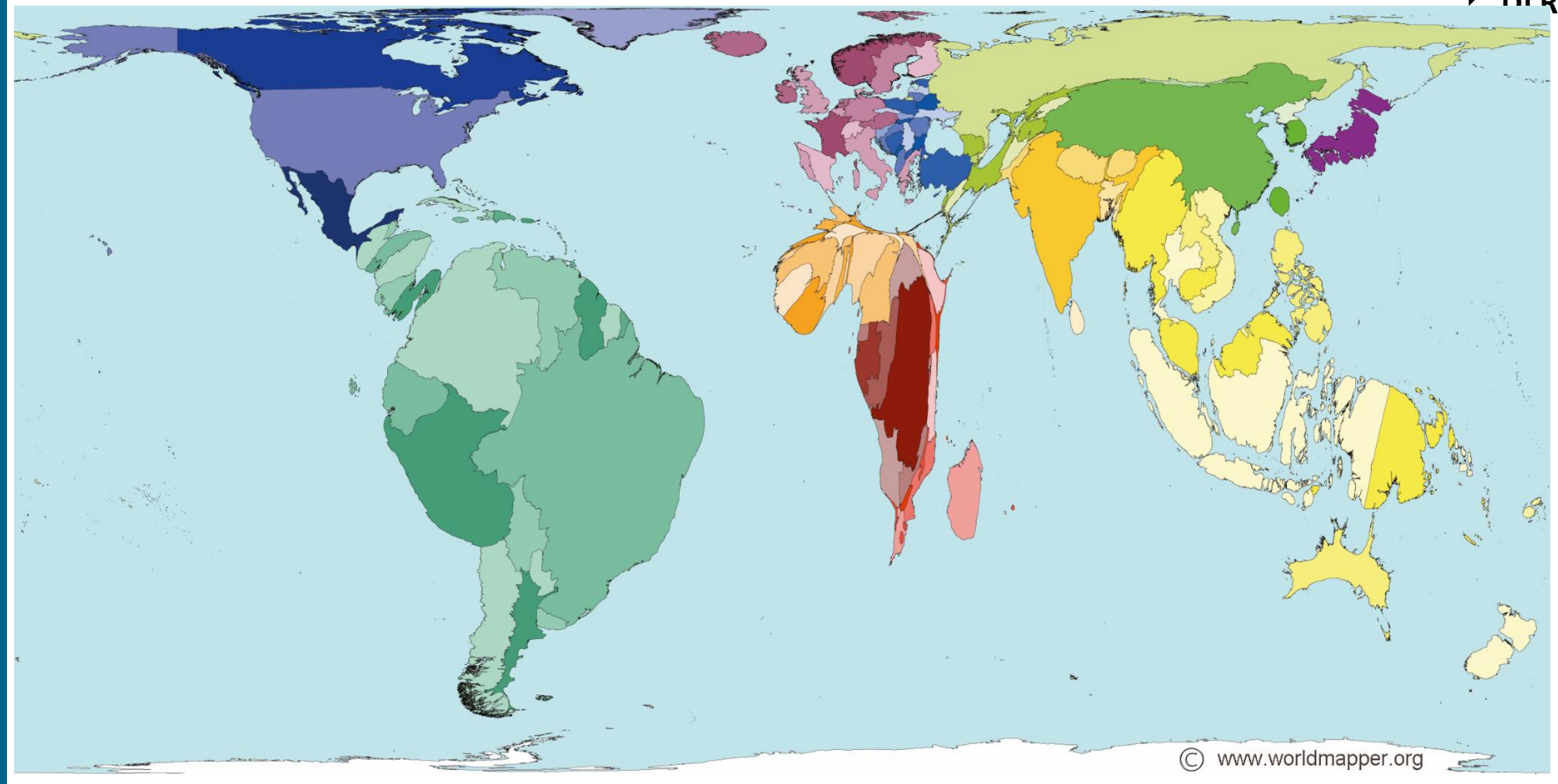
Wasser ist ungleichmäßig verteilt





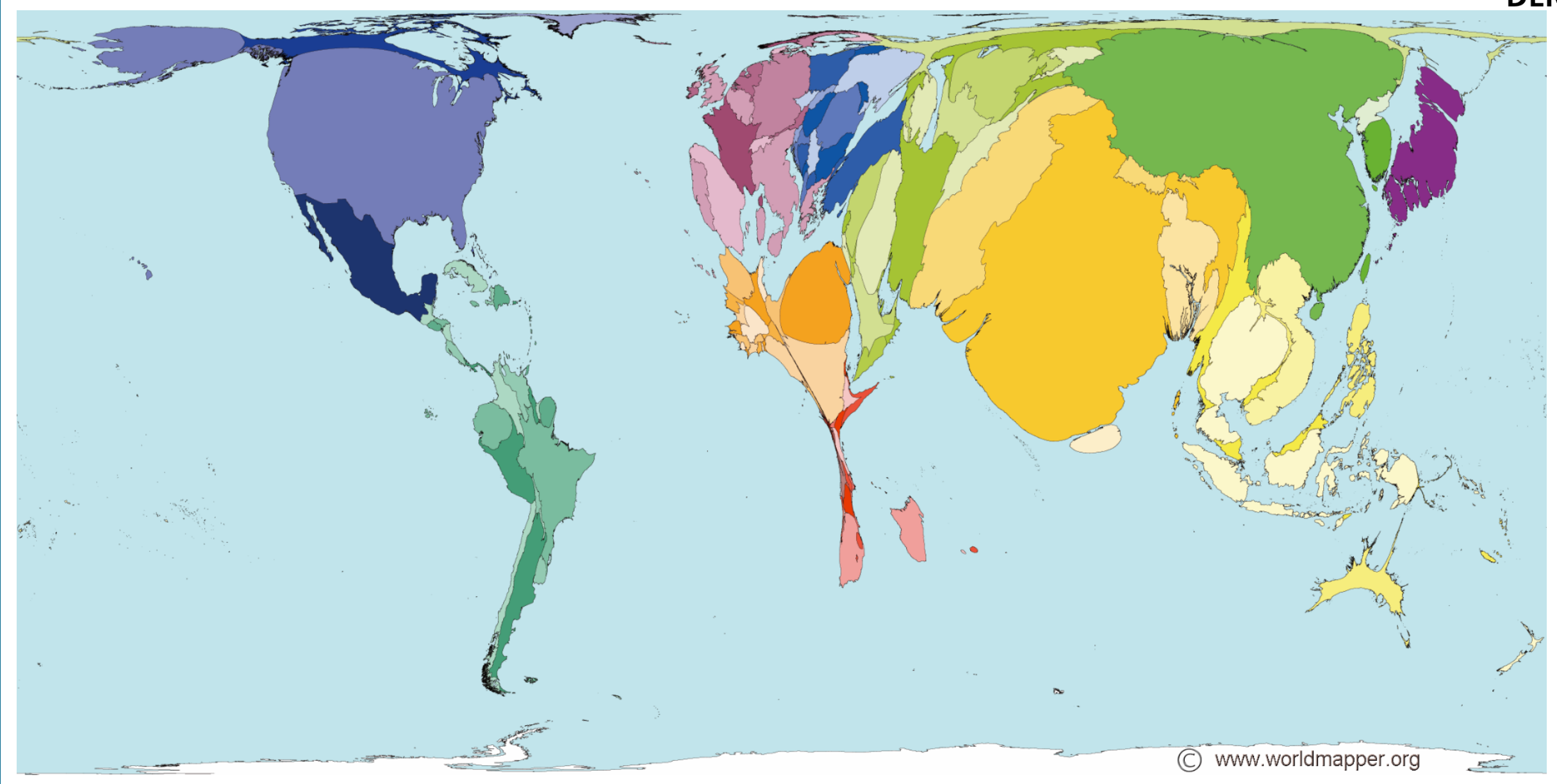
Wasserverfügbarkeit





Wasserverbrauch

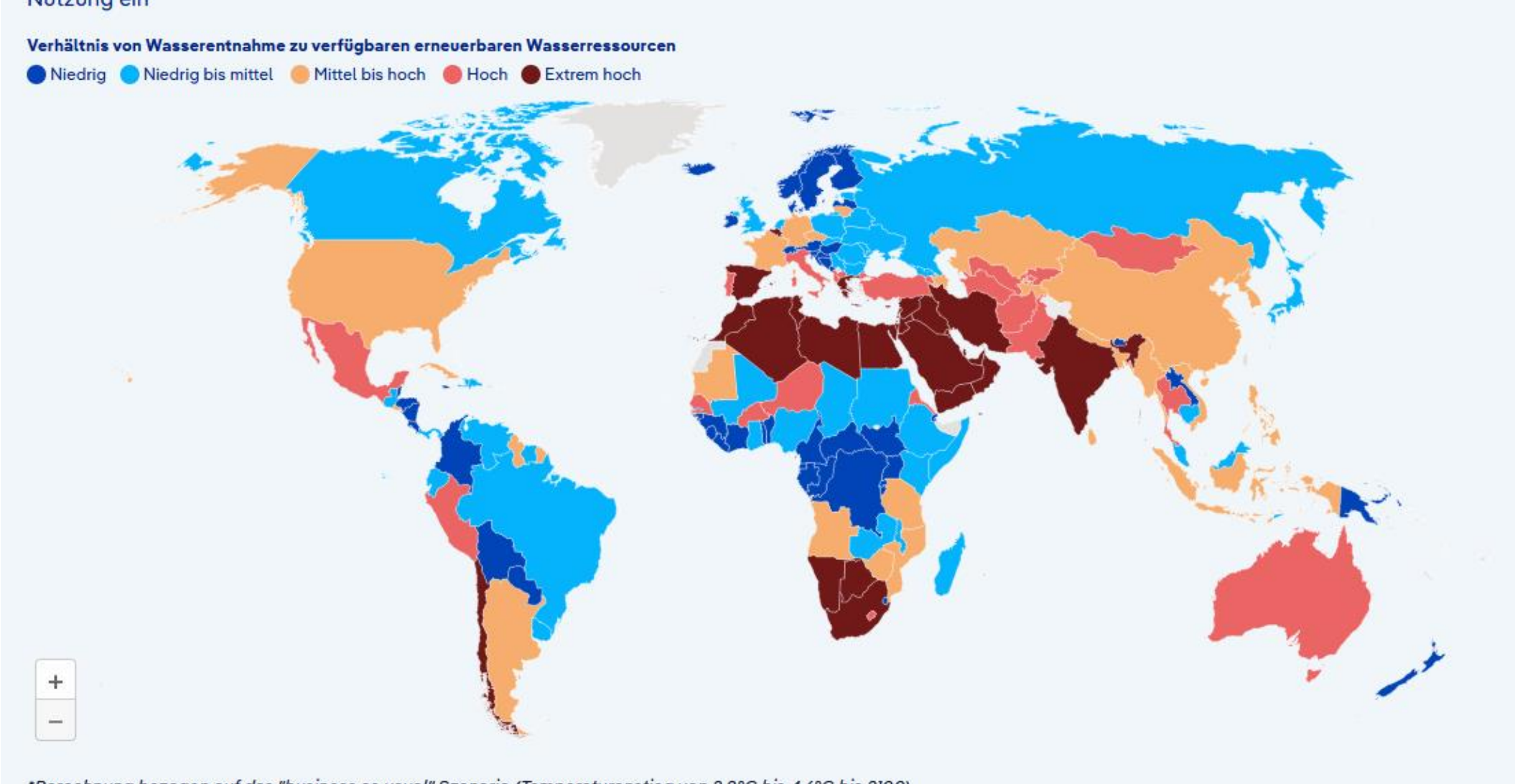




Regionen mit Wasserstress bis 2050



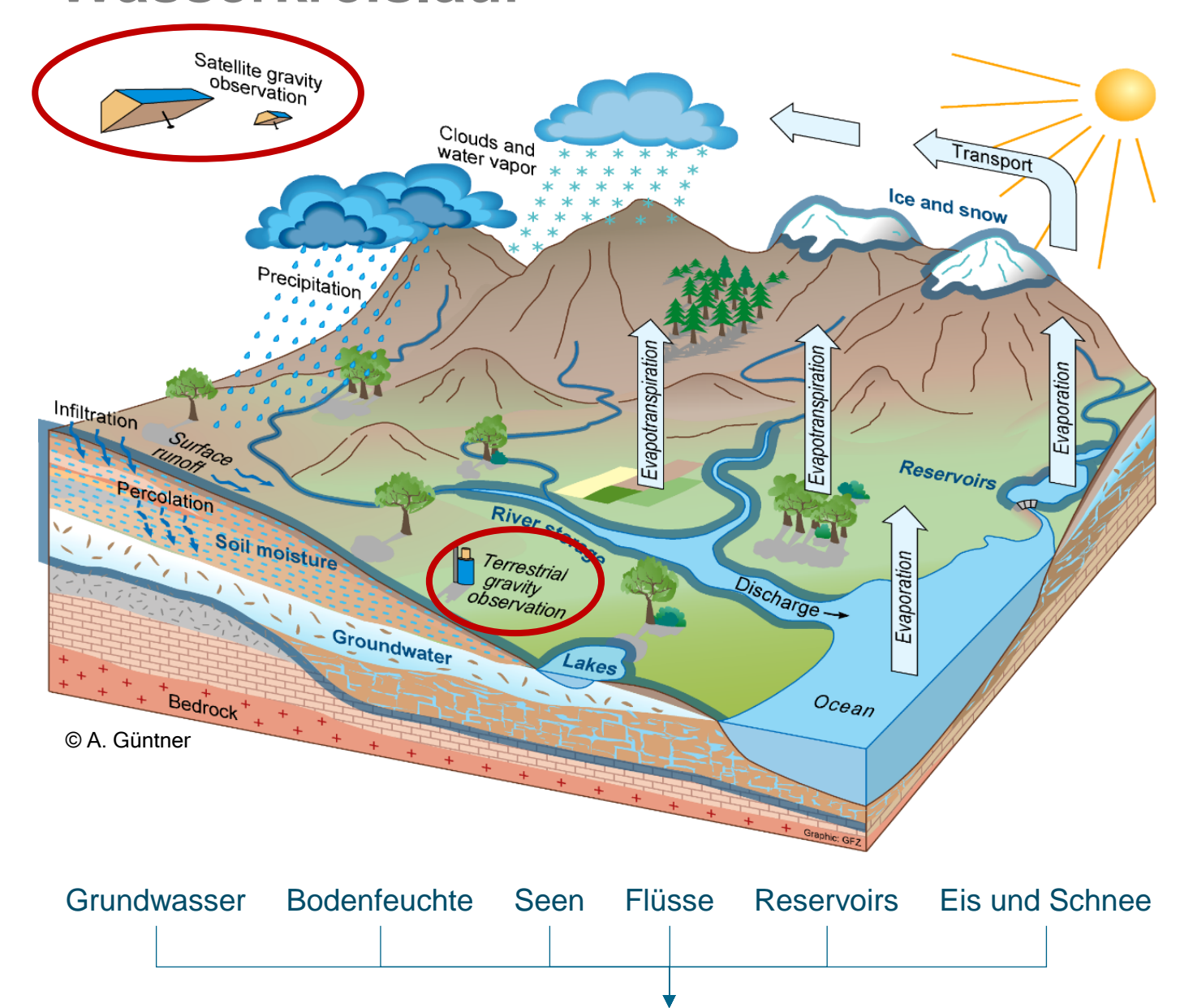
Wasserstress bedeutet: Die Nachfrage nach Wasser ist zeitweise höher als die verfügbare Menge, oder schlechte Wasserqualität schränkt die Nutzung ein



*Berechnung bezogen auf das "business as usual" Szenario (Temperaturanstieg von 2,8°C bis 4,6°C bis 2100)



Wasserkreislauf



Vorratsspeicher (TWS)

Kontinentale Wasserbilanz

$$\Delta S = P - ET - Q$$

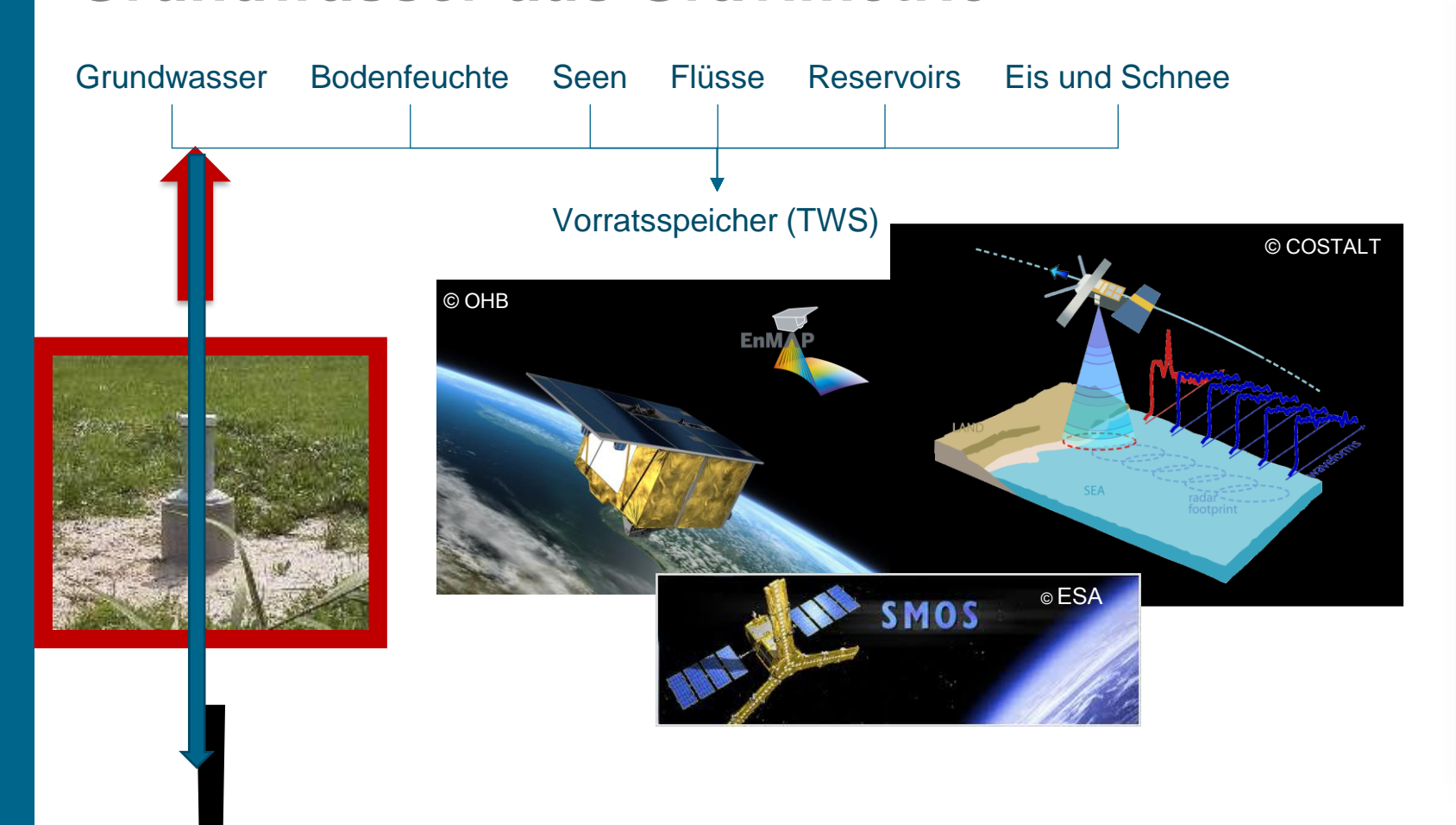
P: Niederschlag

ET: Verdunstung

Q: Abfluss

 ΔS : Vorratsänderung

Grundwasser aus Gravimetrie





Grundwasser = TWS - Gletscher - Schnee - Bodenfeuchte - Oberflächengewässer





-











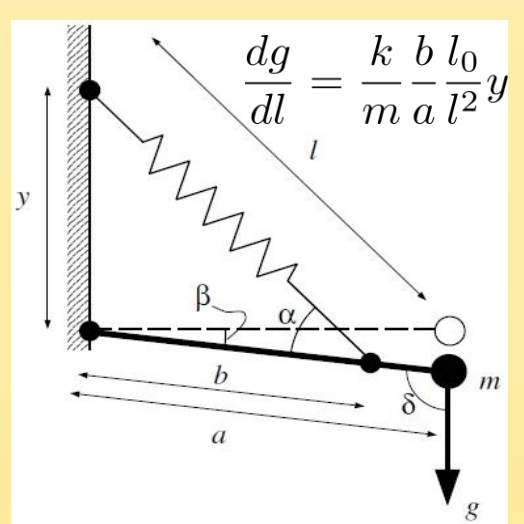








Federgravimeter





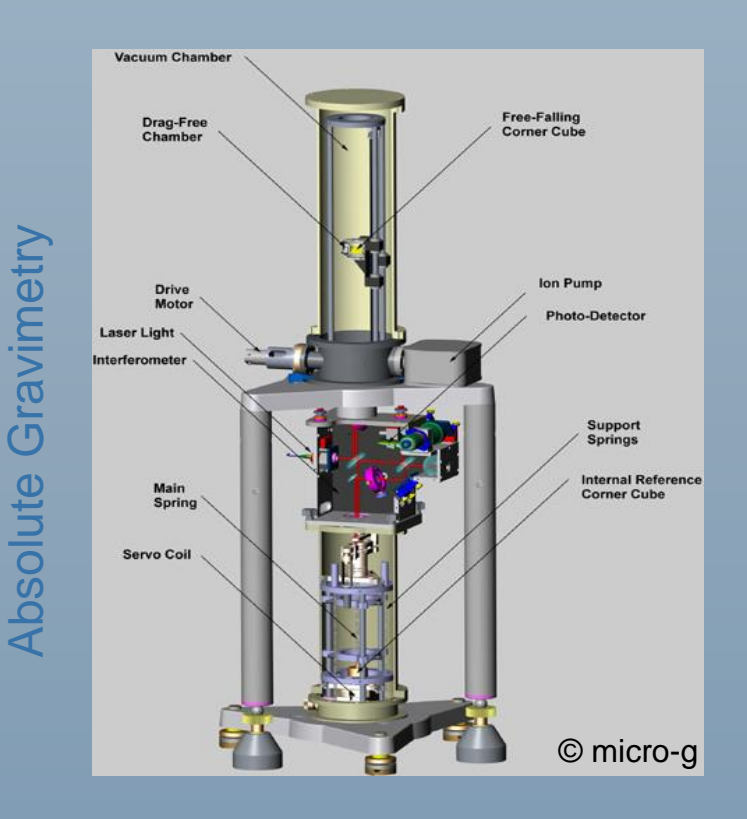
 $\sigma \approx 5 \mu Gal$ = 120 mm Niederschlag

Superconducting Gravimeter



 $\sigma \approx 0.01 \mu Gal$ = 0.2 mm Niederschlag

Freifallgravimeter

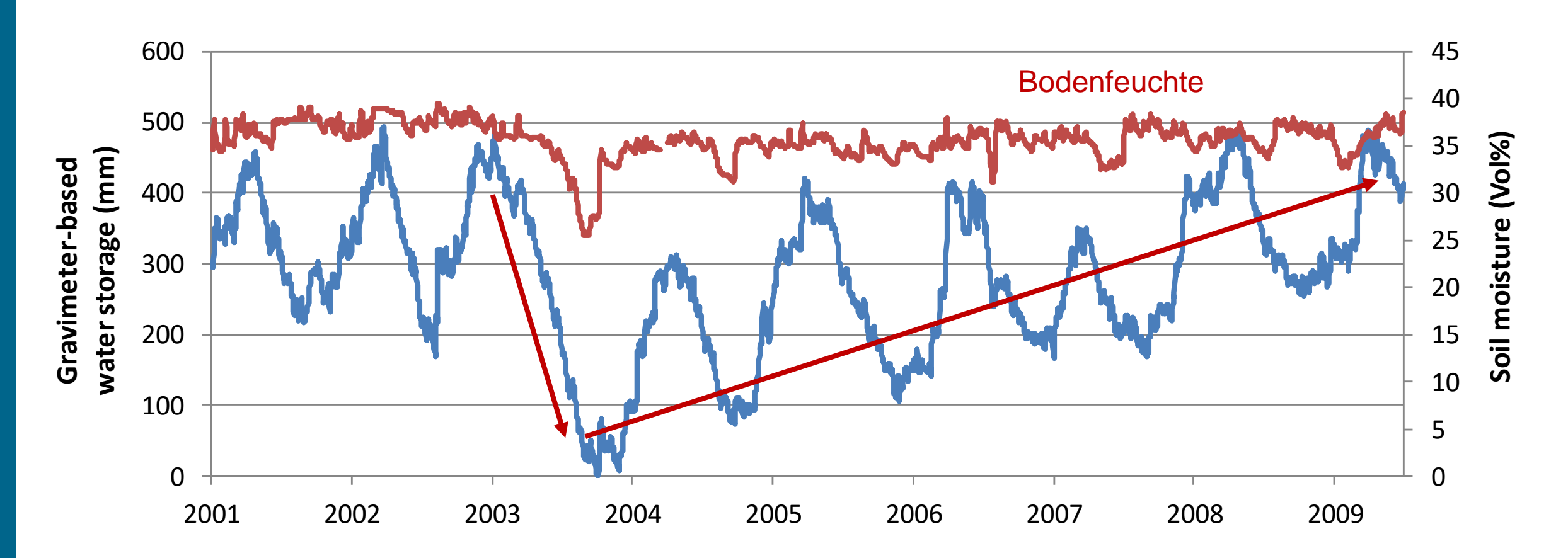


 $\sigma \approx 1 \mu Gal$

= 24 mm Niederschlag

Dürre 2003 - Gravimetriestation Wettzell

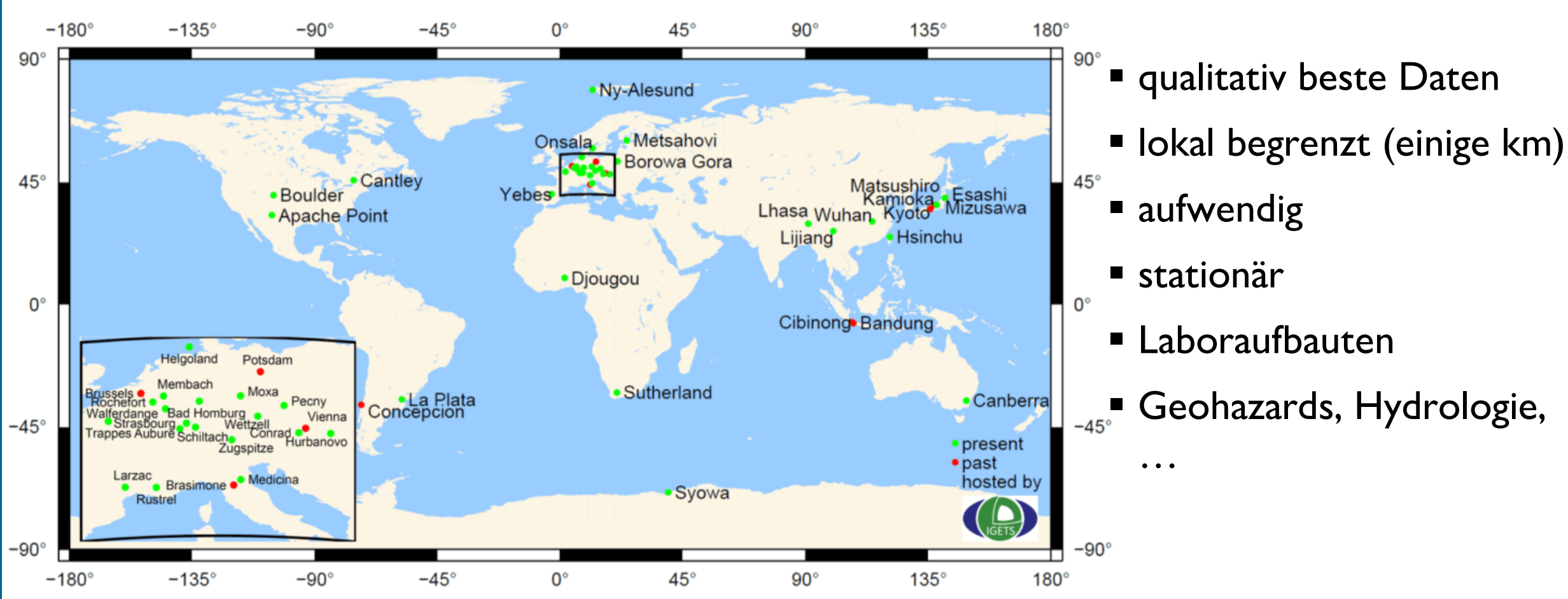




Terrestrische Gravimetrie

DLR

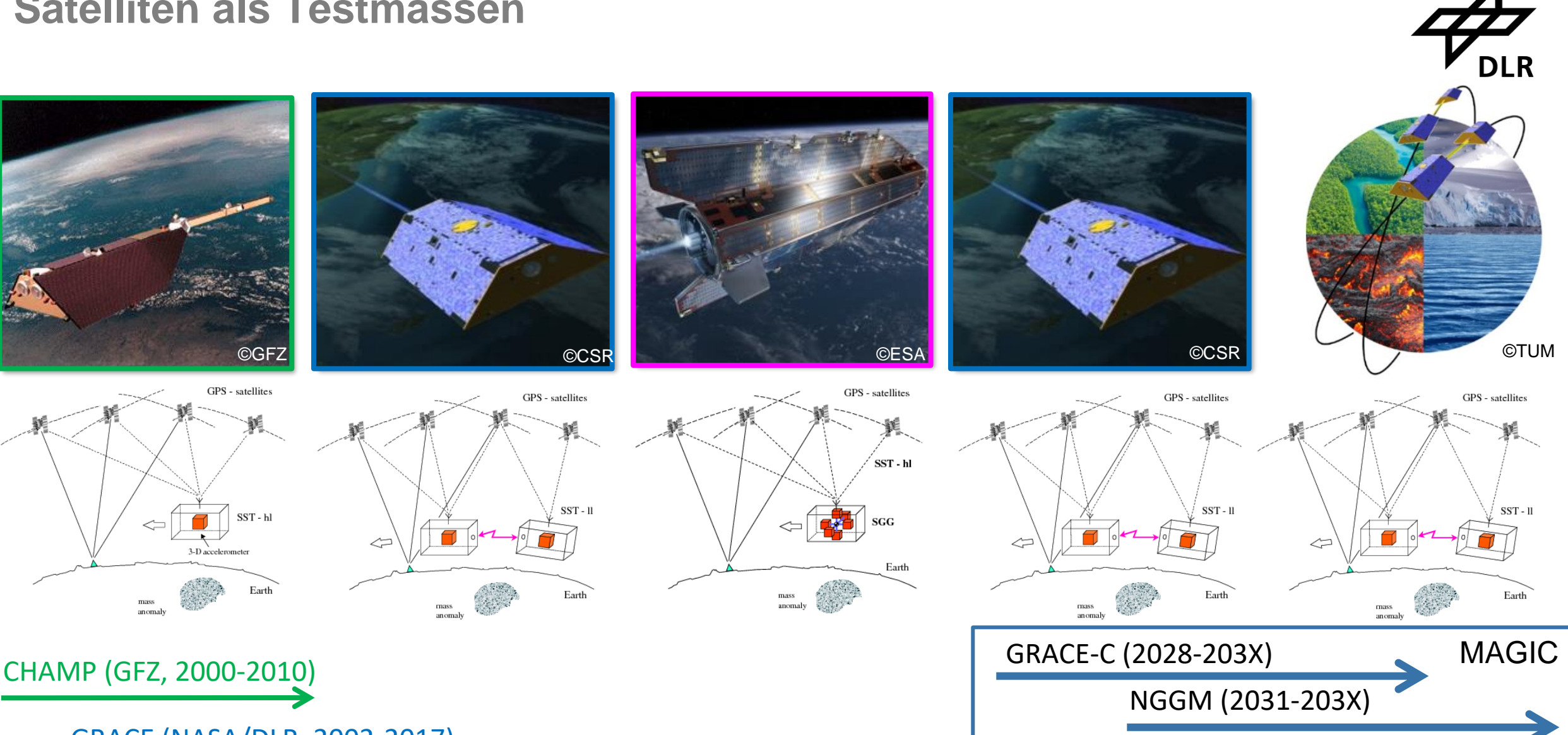
IGETS data base



https://ggos.org/item/igets/



Satelliten als Testmassen



GRACE (NASA/DLR, 2002-2017)

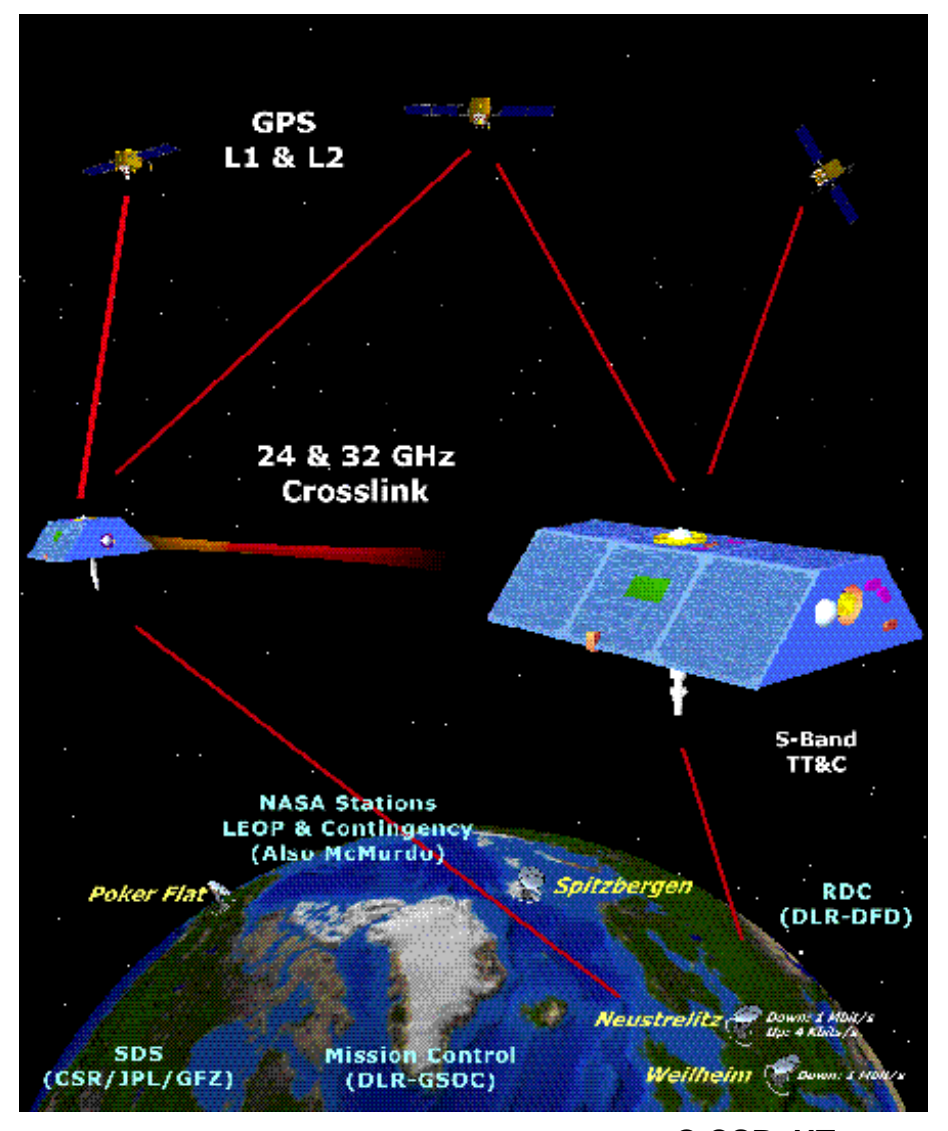
GOCE (ESA, 2009-2013)

GRACE-FO (NASA/GFZ, 2018-203X)

Satellite system GRACE

DIR

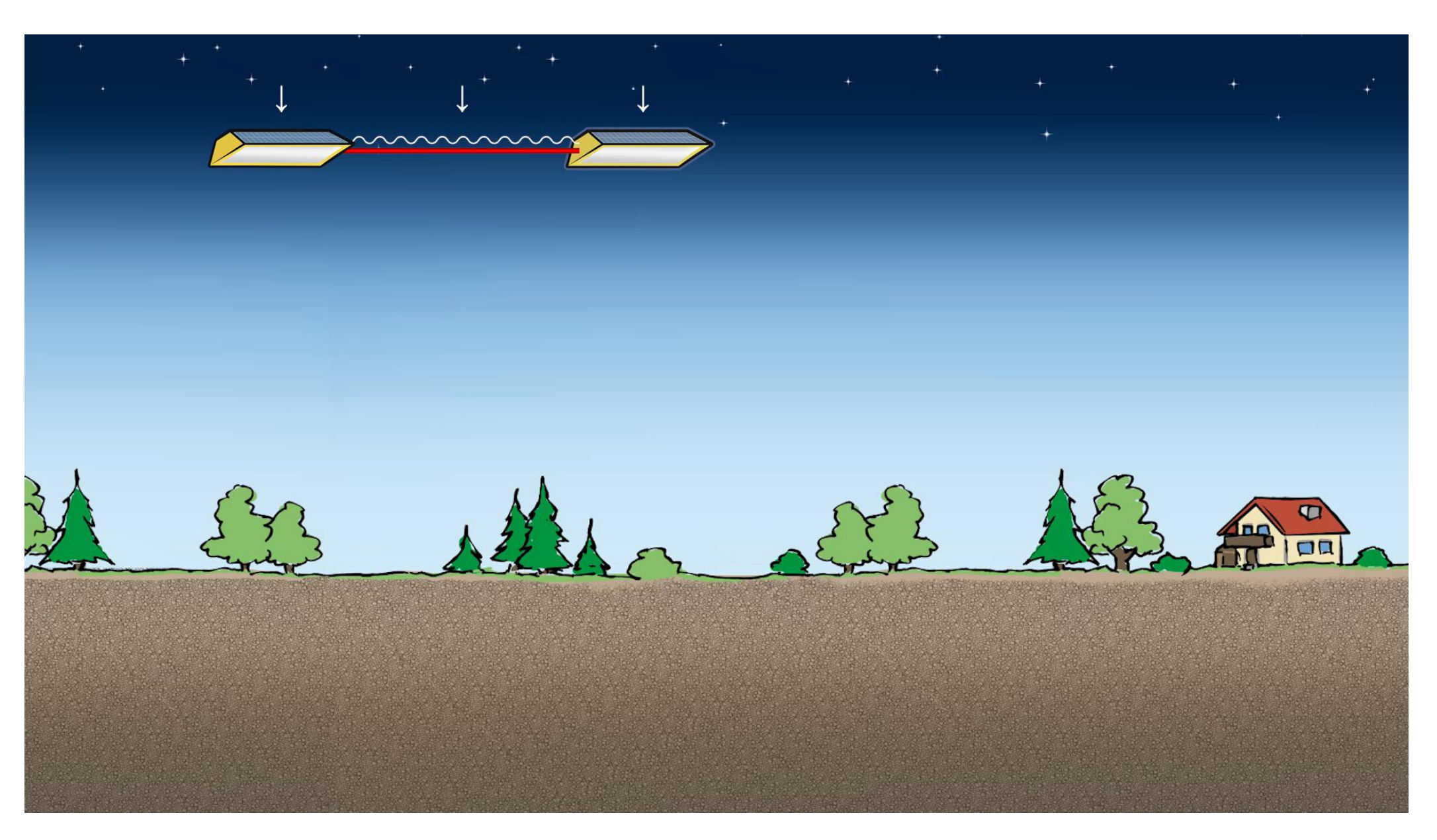
- (Anfangs-)Orbithöhe: ~ 485 km
- Inklination: ~ 89°
- Schlüsseltechnologien:
 - GPS
 - Akzelerometer
 - K-Band ranging-system
- Primäre Beobachtungen:
 - Distanz (range)
 - Distanzänderung (range-rate)



© CSR, UTexas

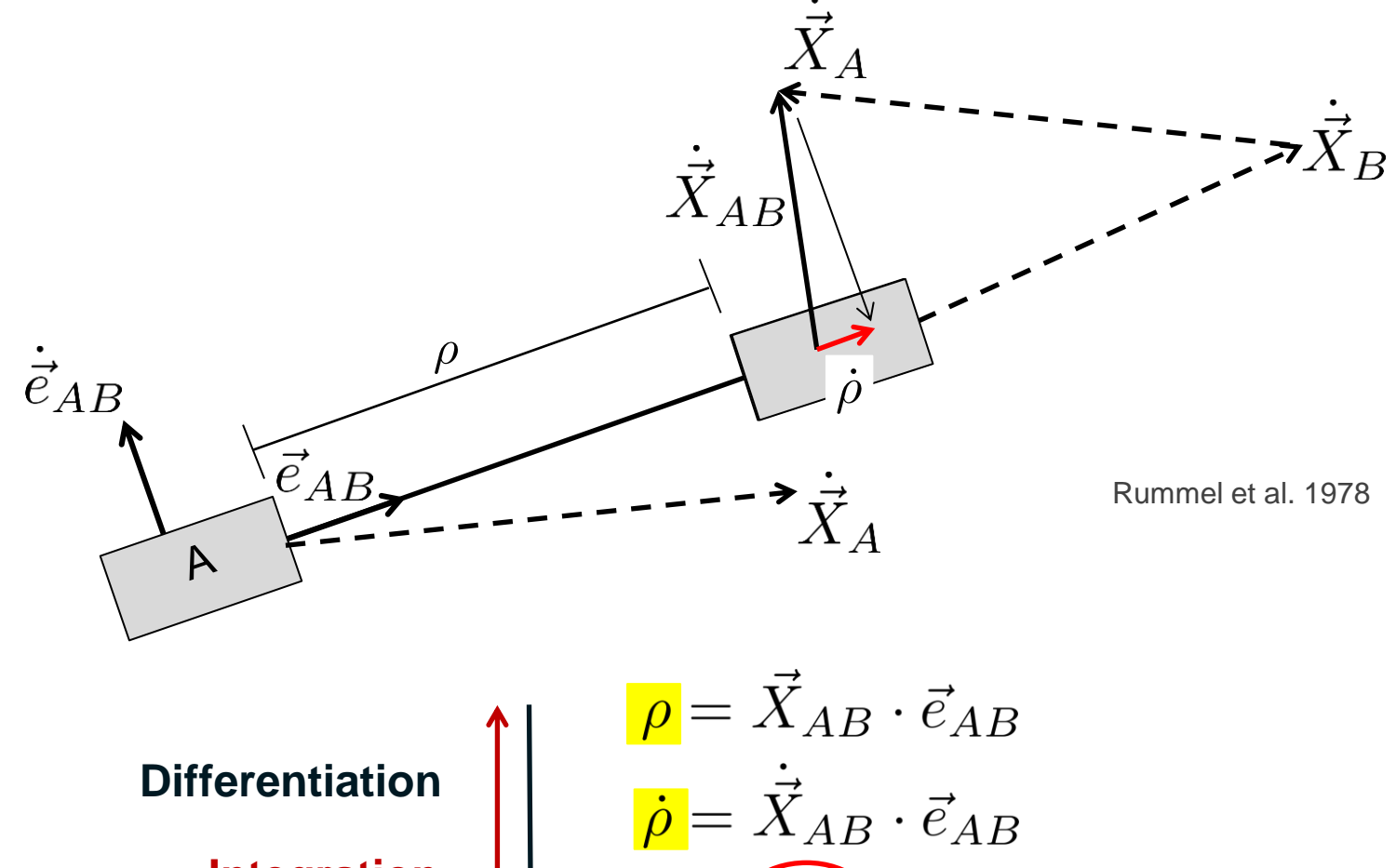
Satelliten als Testmassen





Geometrie eines GRACE-Systems





Schwerefeldmodellierung



$$V = \frac{GM}{R} \sum_{l=0}^{\infty} \left(\frac{R}{r}\right)^{l+1} \sum_{m=0}^{l} \bar{P}_{lm} \left(\sin \phi\right) \left(\frac{\bar{C}_{lm}}{c} \cos m\lambda + \frac{\bar{S}_{lm}}{c} \sin m\lambda\right)$$

mit GM Gravitationskonstante x Erdmasse

R Erdradius

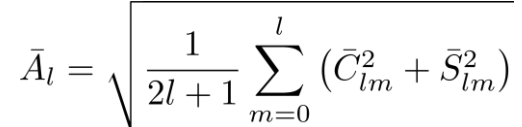
 r, ϕ, λ sphärische Koordinaten

 \bar{P}_{lm} Legendre-Funktion

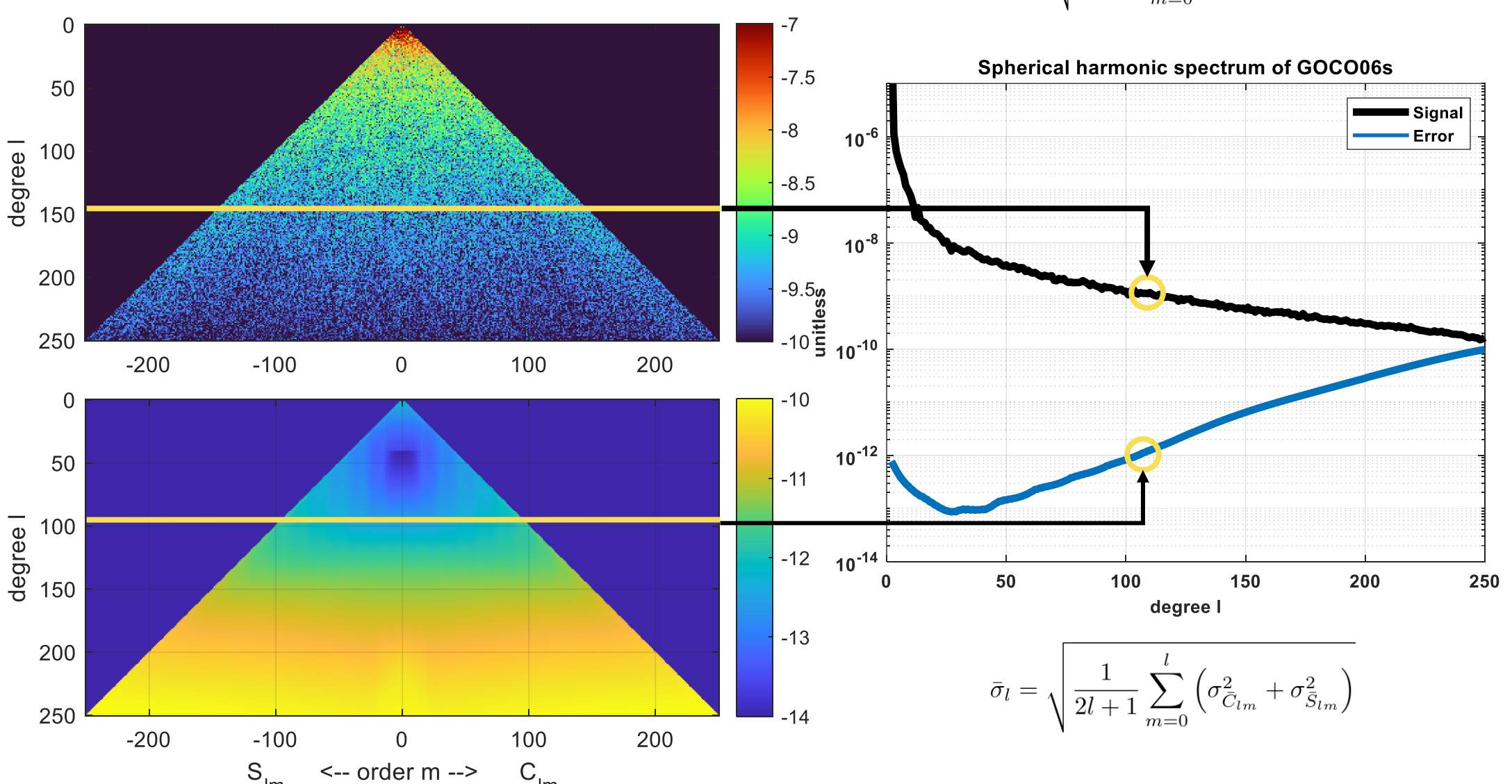
l, m Grad, Ordnung

 $\bar{C}_{lm}, \bar{S}_{lm}$ Sphärisch-harmonische Koeffizienten

Spektrale Darstellung

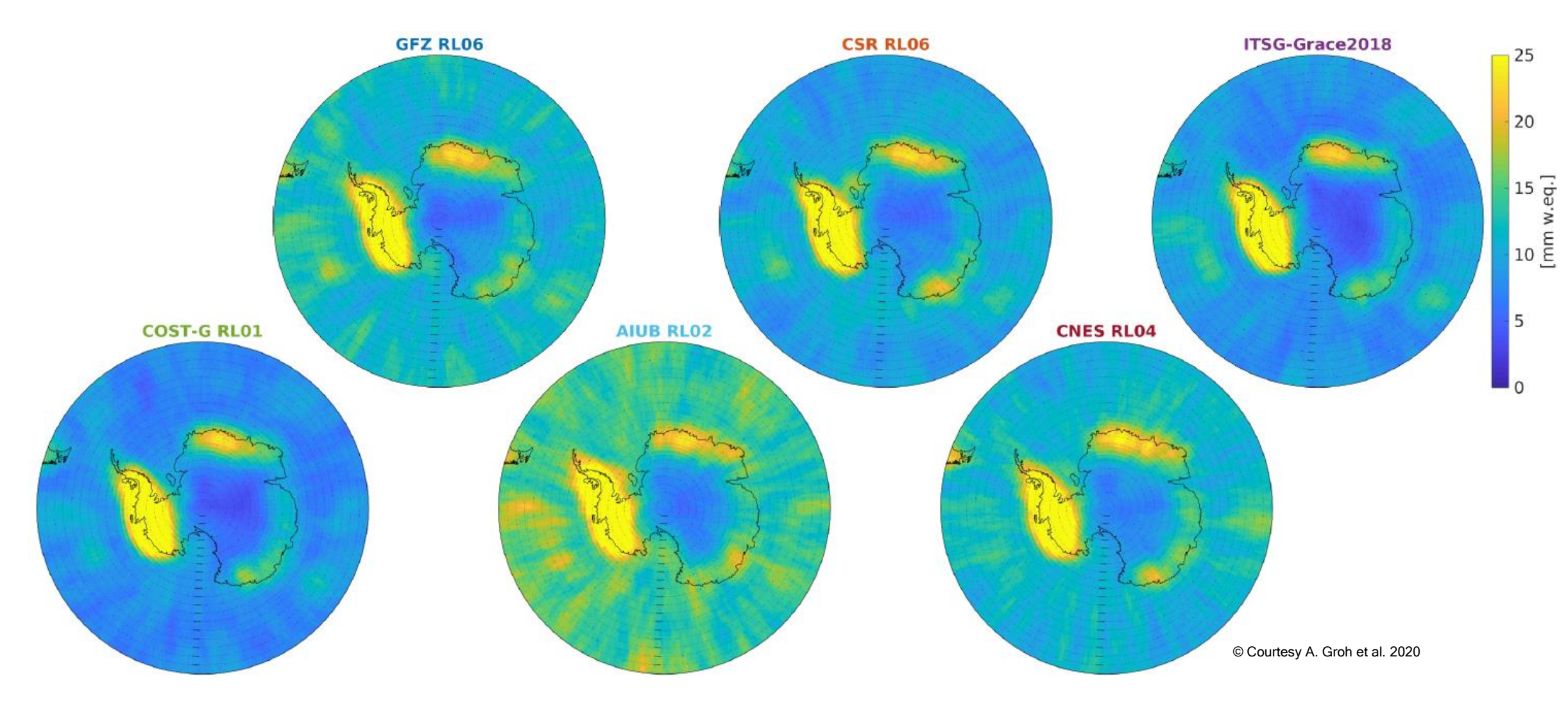






Lösungen verschiedener Prozessierungszentren





Kombinationsservice



GFZ GERMAN RESEARCH CENTE

FOR GEOSCIENCE



Welcome to COST-G

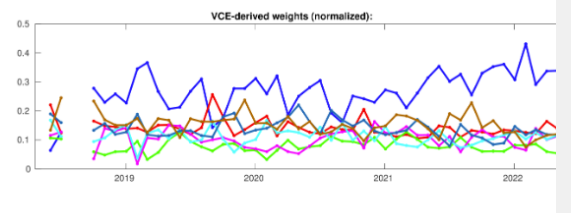
The International Combination Service for Time-variable Gravity Fields (COS center of the International Gravity Field Service (IGFS) and is dedicated to the monthly global gravity field models. COST-G stems from the activities of the fo project European Gravity Service for Improved Emergency Management (EG: developed within the follow-up project Global Gravity-Based Groundwater Pro is funded from the European Union's Horizon 2020 Research and Innovation Grant Agreement no. 870353 (funding period 2020-2022).

Please use the top menu to visit the various parts of our website!

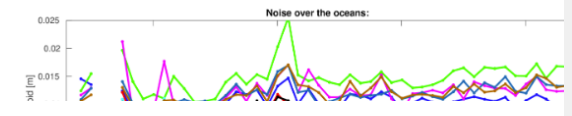
Best regards. Your COST-G Team

Latest GRACE-FO combination results

Weights



Noise over the oceans



GFZ GravIS Helmholtz Centre TERRESTRIAL WATER OCEAN BOTTOM GREENLAND CORRECTIONS AND ANTARCTIC

ICE-MASS CHANGE

ICE-MASS CHANGE

Welcome to GravIS, the Gravity Information Service of the German Research Centre for Geosciences (GFZ), in collaboration with the Alfred-Wegener-Institut (AWI) and Technische Universität Dresden. Data products derived from the gravimetric Earth observation satellite missions GRACE and GRACE-FO are widely used by scientists and other interested users to study mass variations in the Earth system. However, processing of GRACE/GRACE-FO data into user-friendly products for dedicated geophysical applications is nontrivial, neither when starting from original satellite observations nor from the level of gravity field products. In order to enable the usage of satellite gravimetry data for a broader community, user-friendly ('Level-3') products are generated by various institutions.

AUXILIARY PRODUCTS

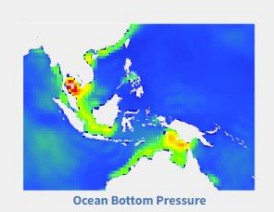
GravIS visualizes and describes Level-3 products based on the most recent GRACE and GRACE-FO data release from GFZ. In addition, Level-3 products based on the most recent release of combined models for GRACE and GRACE-FO from COST-G are offered as well. The products presented at GravIS are available for download at GFZ's Information System and Data Center (ISDC).



PRESSURE

STORAGE

Terrestrial Water Storage



The Gravity Recovery and Climate Experiment (GRACE; 2002 - 2017) and its Follow-On mission (GRACE-FO; launched in May 2018) typically provide monthly independent estimates of the Earth's global gravity field. Differences between consecutive months are caused by mass redistribution and mass transport in the Earth system, particularly in the geophysical fluid layers of the atmosphere, oceans, and continental hydrosphere.

GRACE/GRACE-FO data processing is structured into sensor data analysis (Level-0 to Level-1), global gravity field estimation (Level-1 to Level-2), and geophysical mass anomaly inversion (Level-2 to Level-3). Level-3 products at GravIS comprise gridded mass anomalies as well as basin average time series and are available for terrestrial water storage over non-glaciated regions, bottom pressure variations in the oceans, and ice-mass changes in both Antarctica and Greenland. In order to achieve the highest possible accuracy of the mass anomalies, several post-processing steps have been applied to the Level-2 spherical harmonic coefficients before inversion.



Greenland Ice-Mass Change



Antarctic Ice-Mass Change

GRACE | GRACE-FO | Imprint



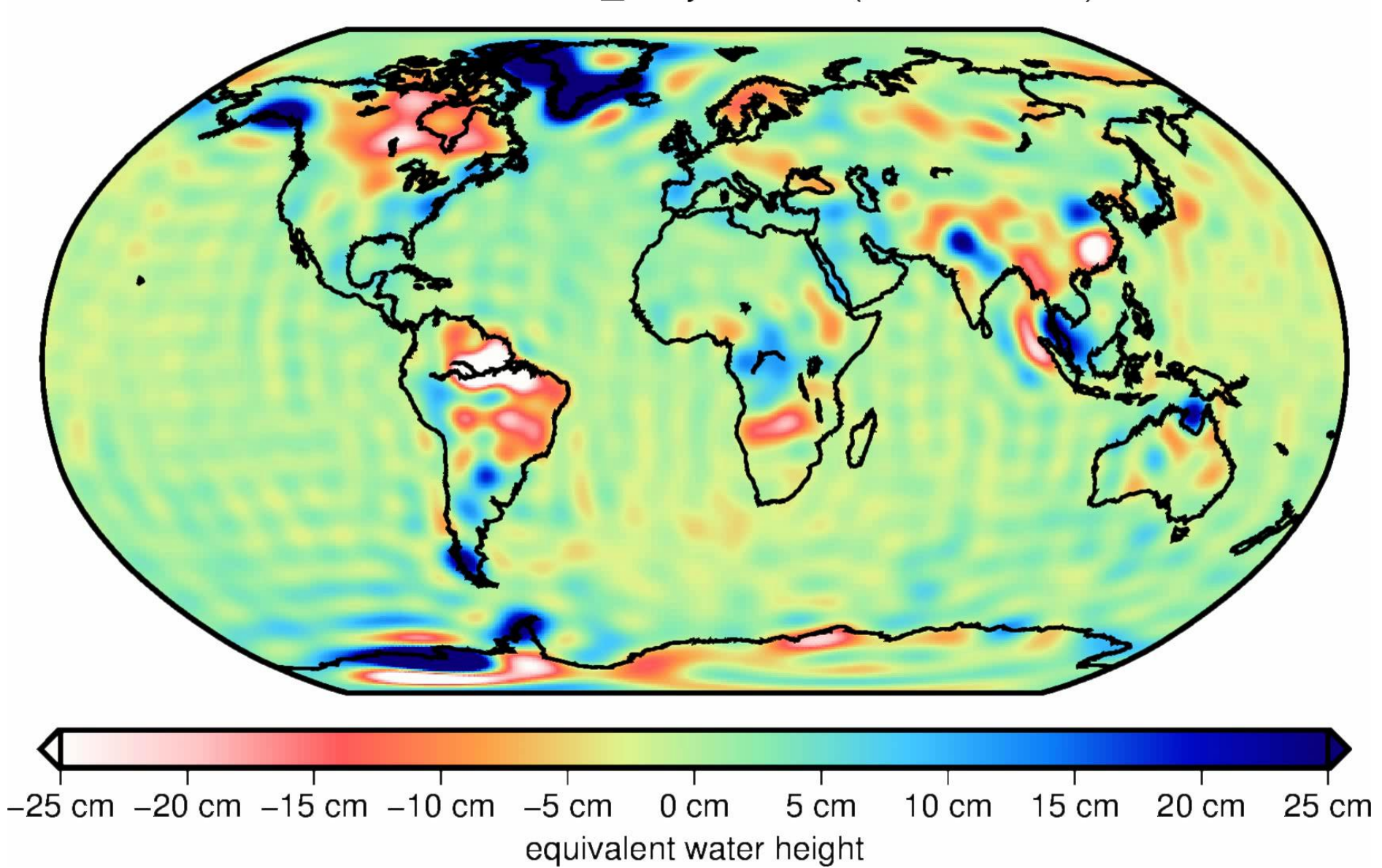




Massentransporte

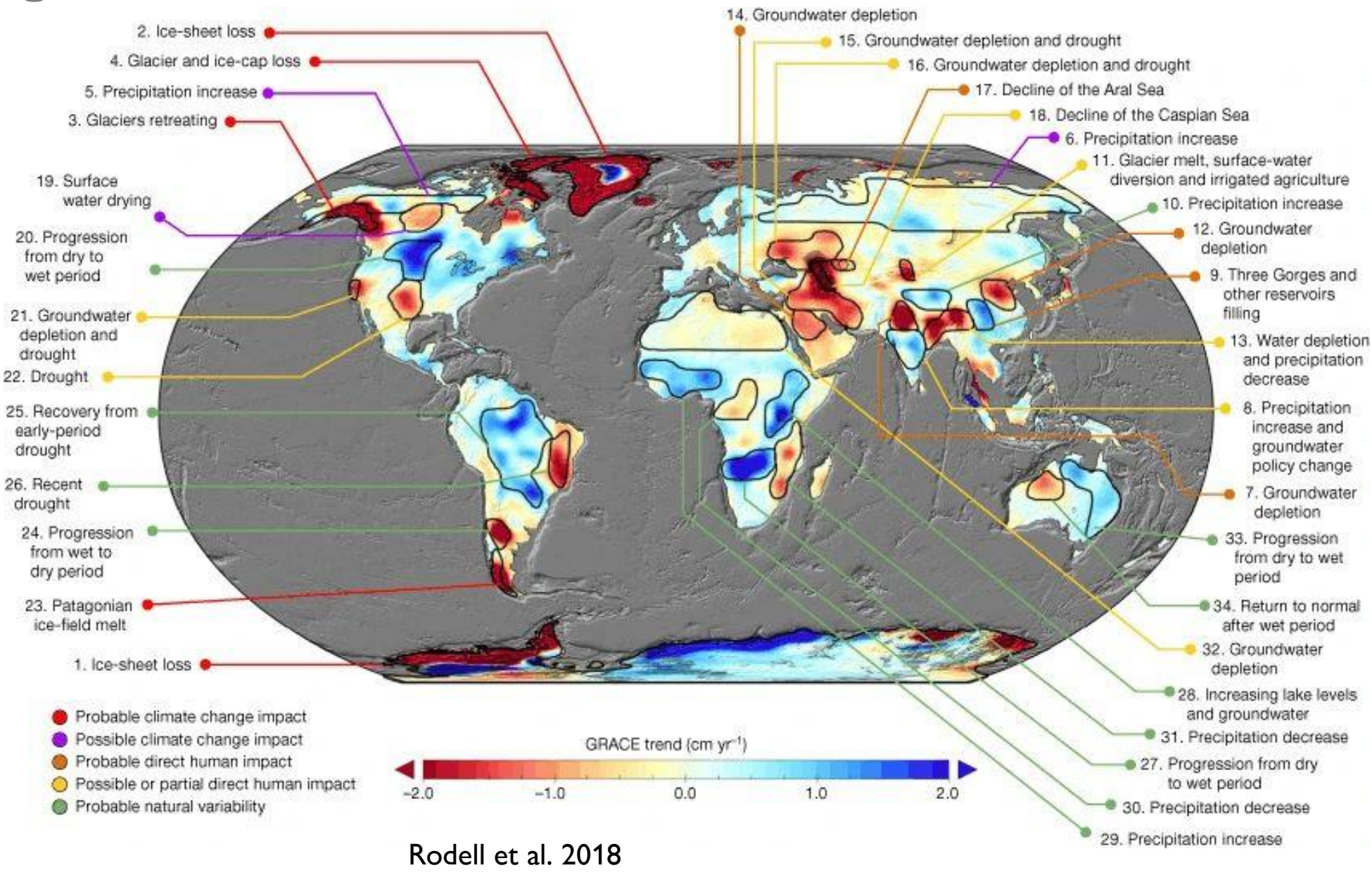


ITSG-Grace2016_dailyKalman (2004-01-01)



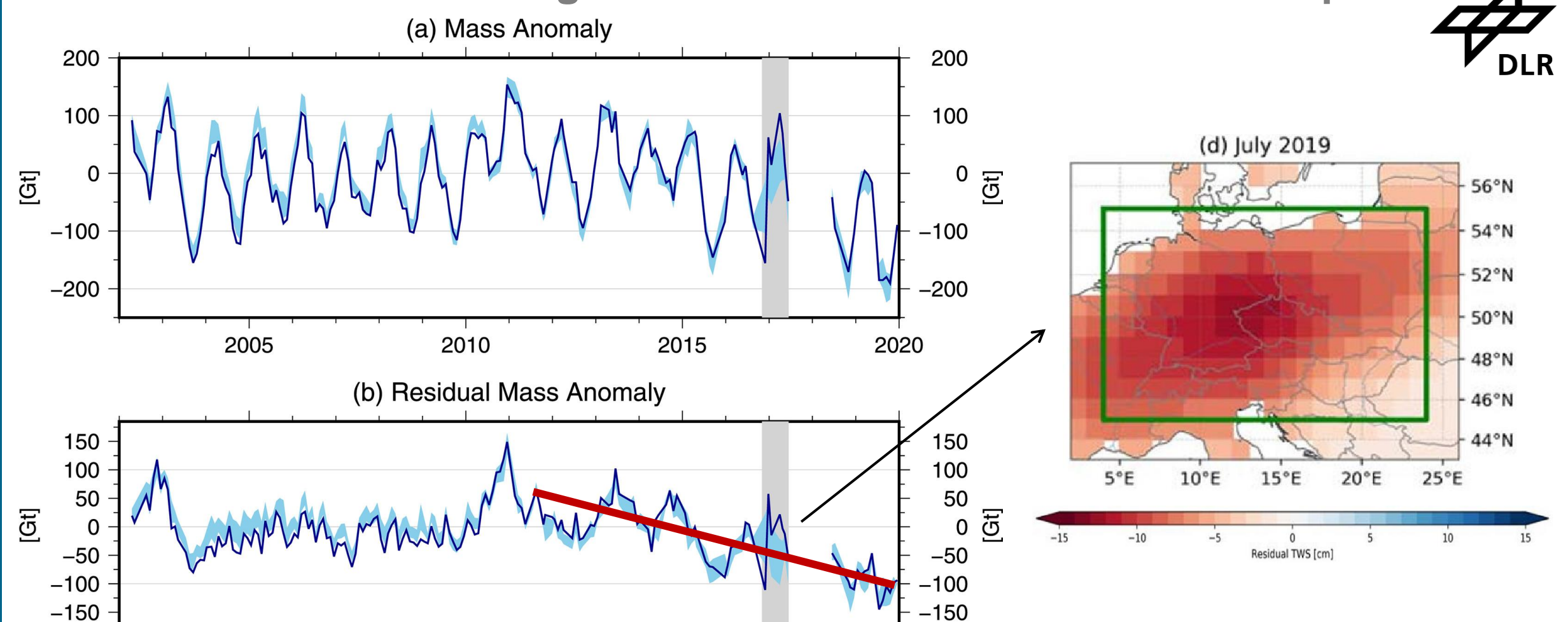
Tipping Points





Emerging trends in global freshwater availability

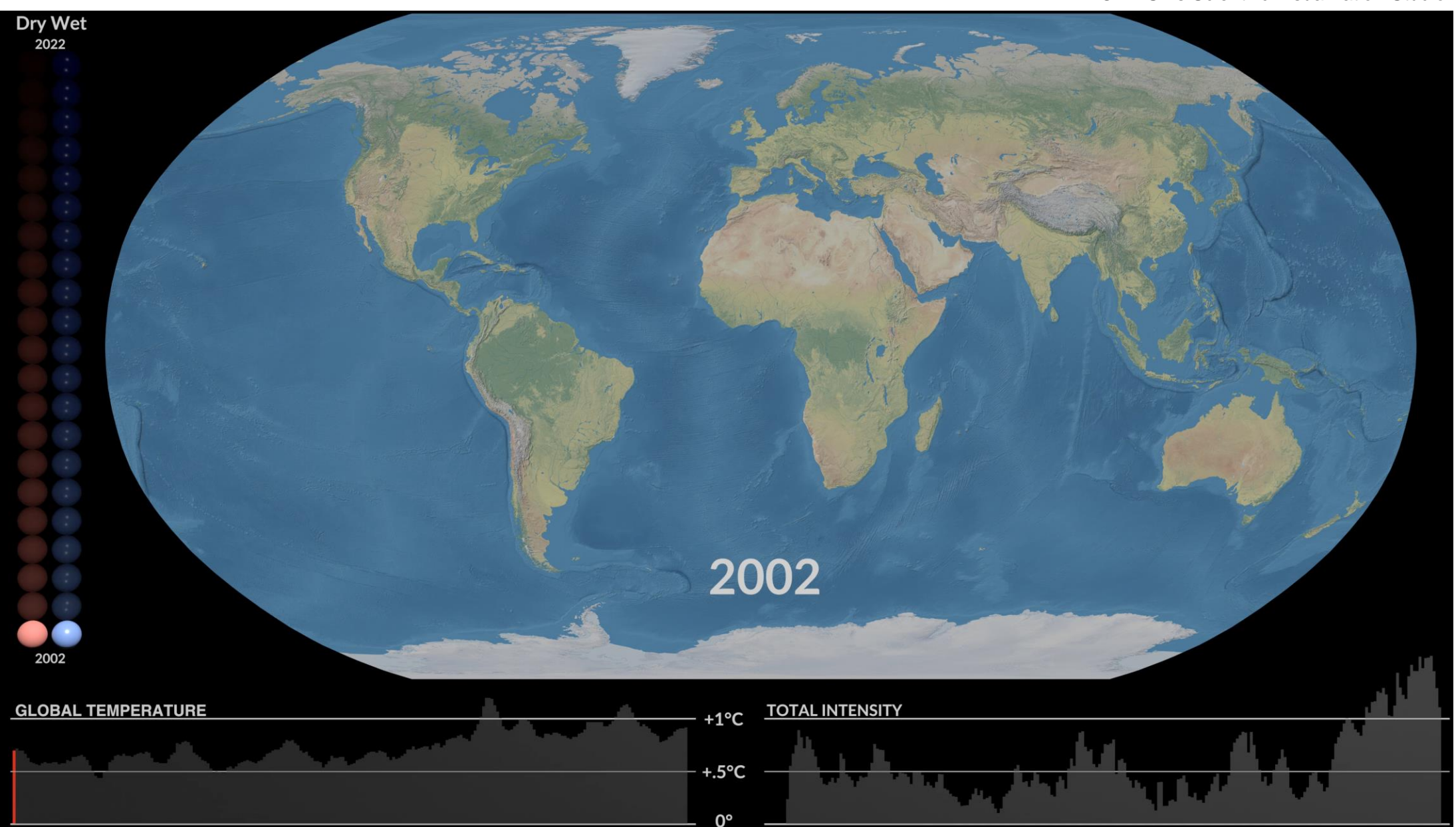
GRACE und GRACE-FO: gesamter Wasservorrat in Zentraleuropa



Boergens, E., Güntner, A., Dobslaw, H., & Dahle, C. (2020). Quantifying the Central European droughts in 2018 and 2019 with GRACE Follow-On. Geophysical Research Letters, 47, e2020GL087285. https://doi.org/10.1029/2020GL087285

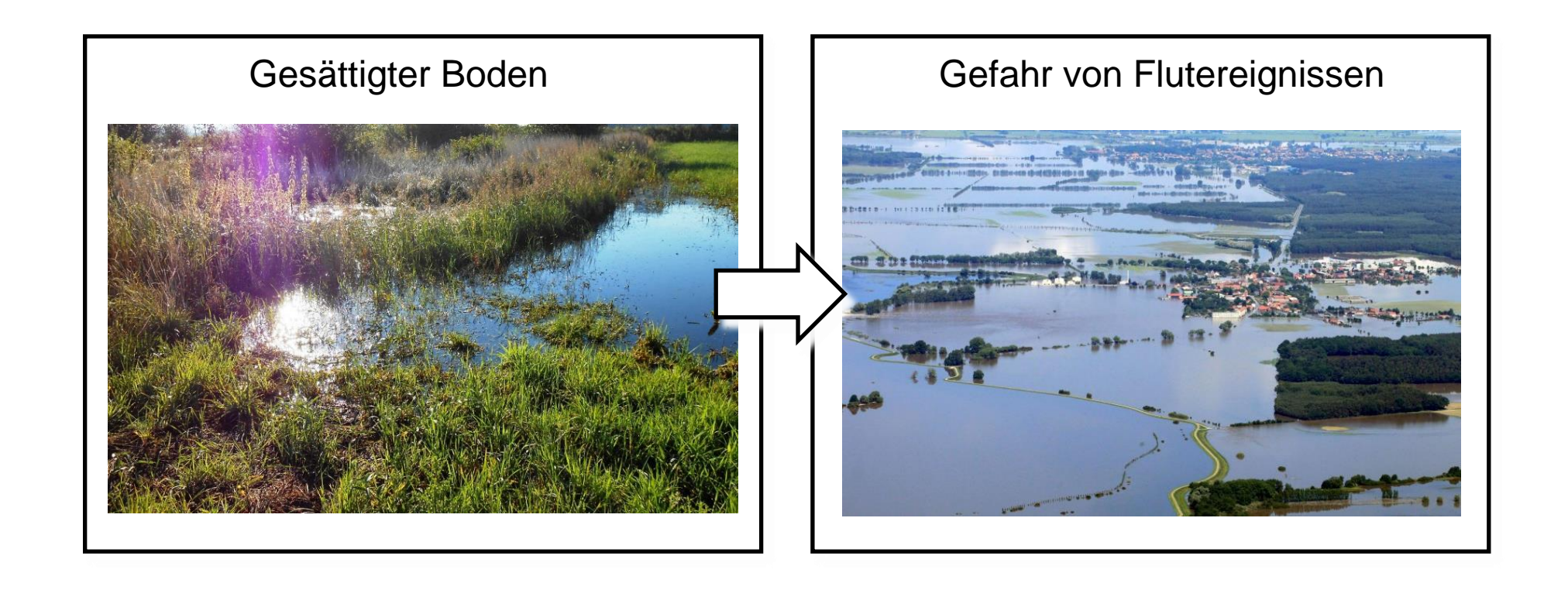
Zunahme von Extremereignissen

© NASA's Scientific Visualization Studio



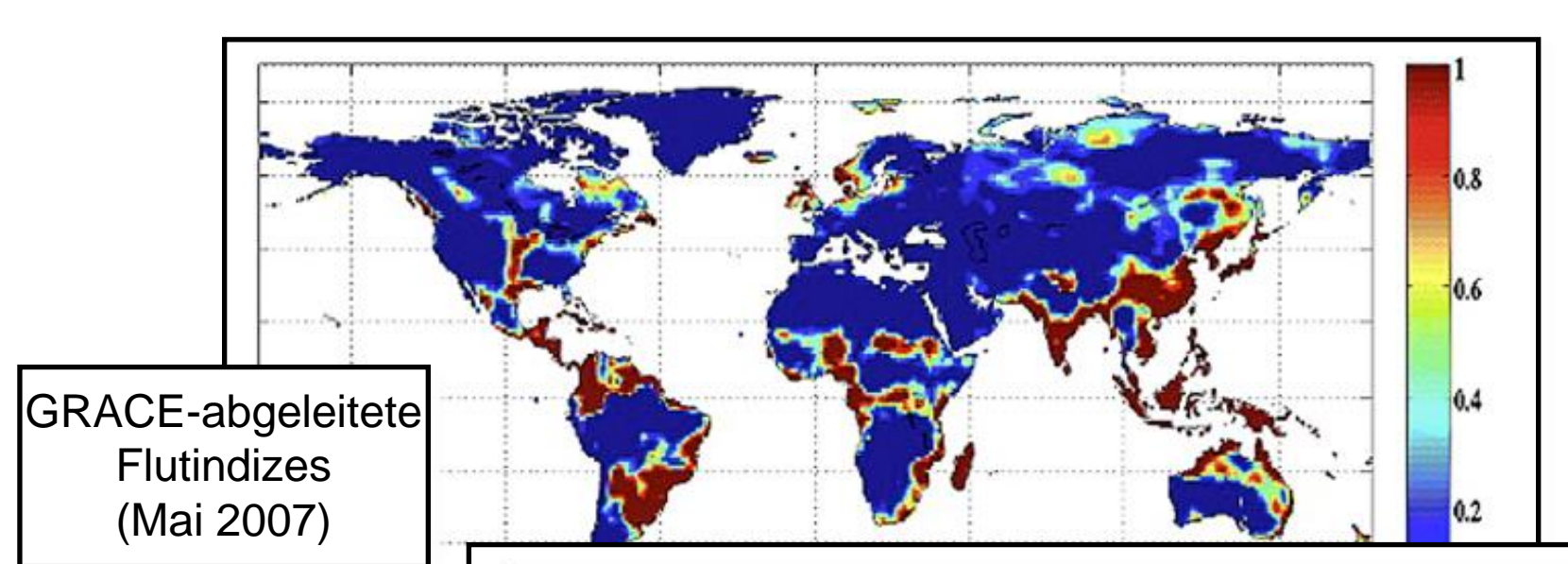
Gravimetrie als Frühwarnsystem





Flutindizes aus Gravimetrie können Flutereignisse anzeigen, bevor sie tatsächlich auftreten.

Gravimetrie als Frühwarnsystem



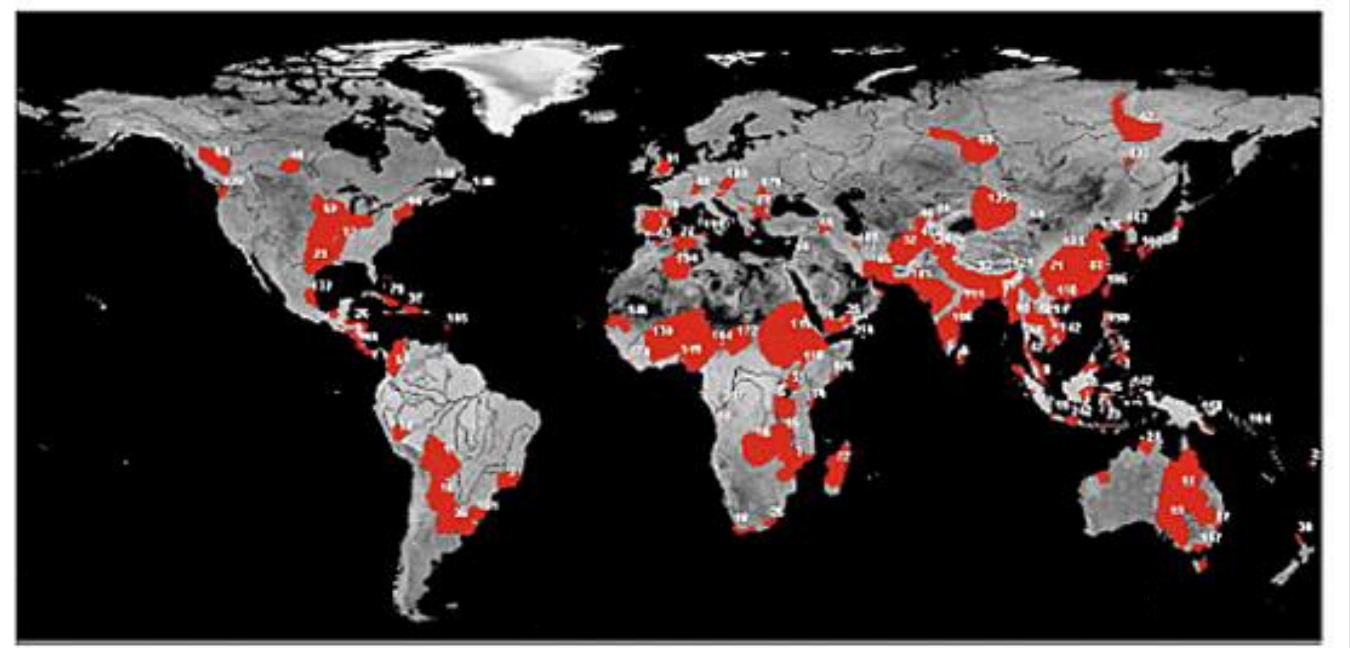


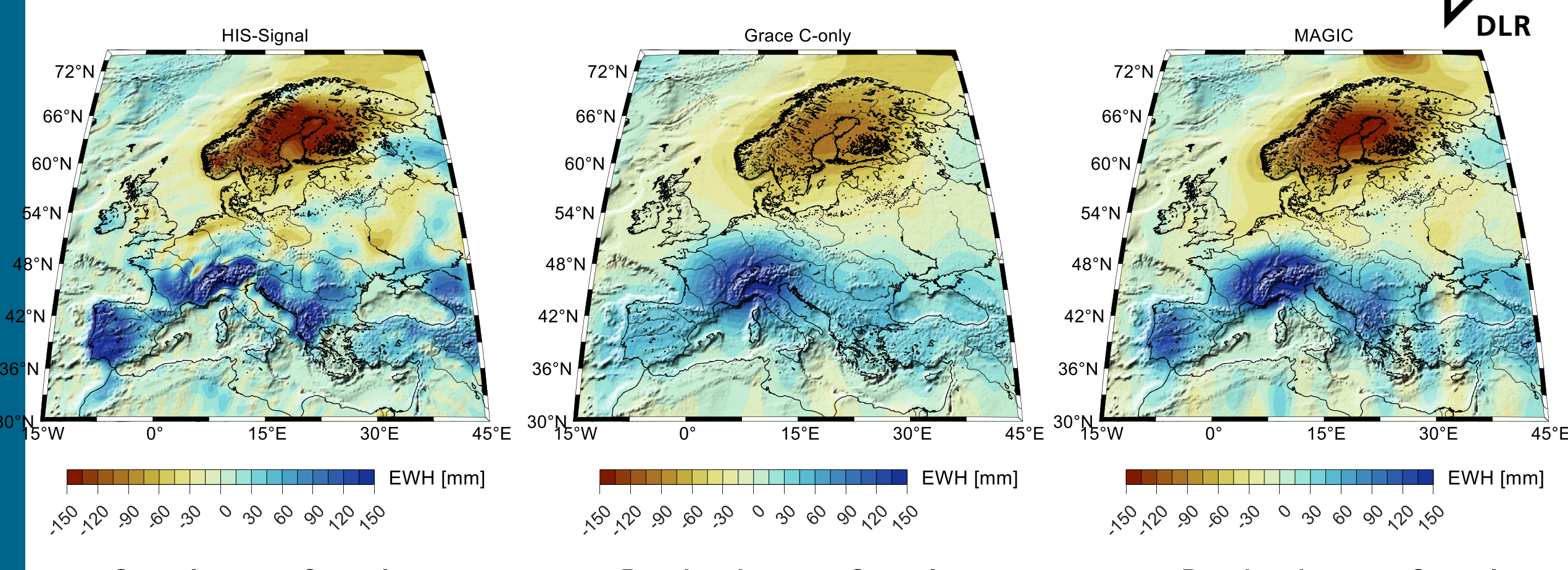






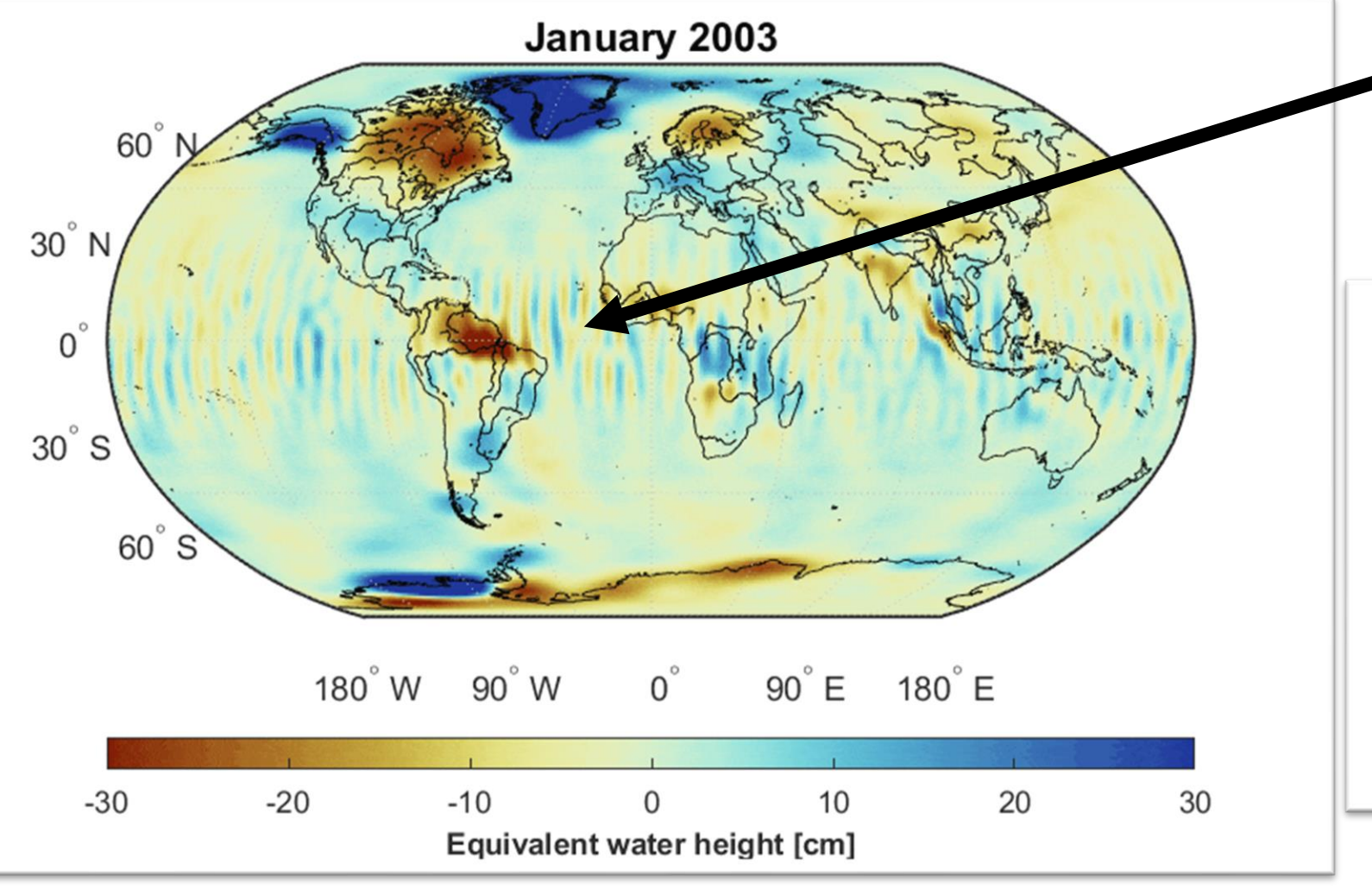
Tatsächliche Flutereignisse Mai 2007





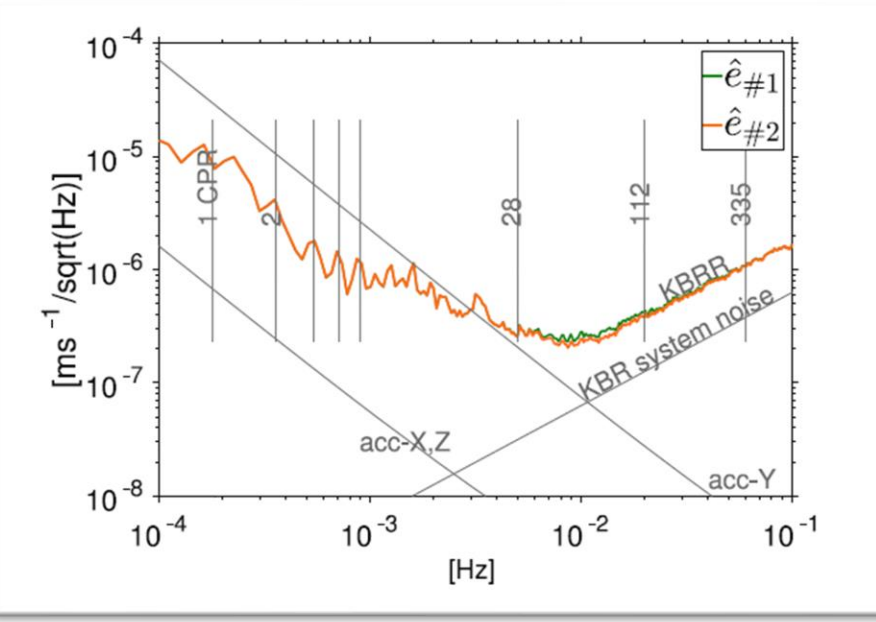
Simuliertes Signal mit 50 km räumlicher Auflösung

Beobachtetes Signal mit einem einzelnen Paar: 300km Auflösung Beobachtetes Signal mit einem Doppelpaar: 150km Auflösung









Goswami et al. 2018 Analysis of Attitude Errors in GRACE Range-Rate residuals













RÄUMLICHE UND ZEITLICHE AUFLÖSUNG

SENSOR-RAUSCHEN

HINTERGRUND-MODELLE DATEN-VERFÜGBARKEIT

Limitierung auf ca. 300km - 400km und monatlich

Beobachtungssysteme können nicht voll ausgeschöpft werden Aliasing von geophysikalischen Signalen

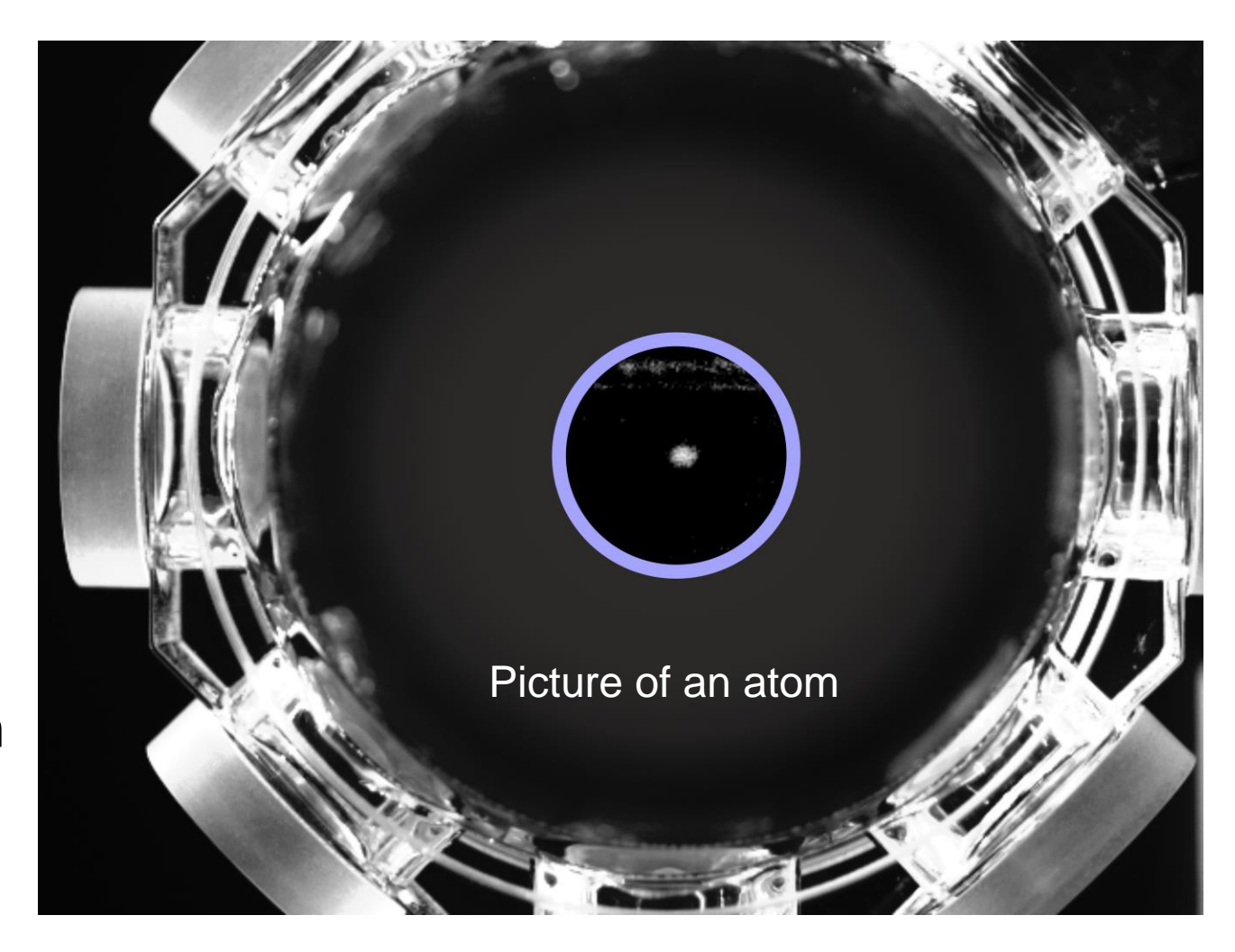
Verfügbarkeit?
Redundanz?
Latenzzeiten?
Räumliche Abeckung?
Sensitivität?



Quantensensoren



- Einzelne Atome werden isoliert.
- Ausnutzen der Welleneigenschaften von Atomen
- Einsatz von Atomen für hochpräzise Beobachtungen
 - Beschleunigungsmesser
 - Rotationssensoren
 - Gravimetrie/Gradiometrie
 - Zeit- und Frequenzmessungen



Nutzung der fundamentale Eigenschaften von Atomen und Molekülen zur Verbesserung von Messgenauigkeiten und Auflösungen

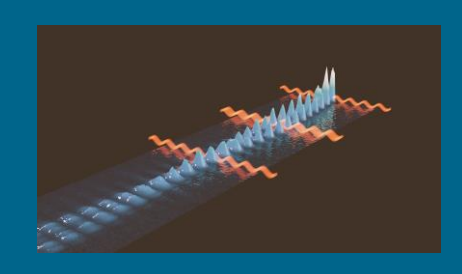


Laserinterferometer



- Langzeitstabil,hochpräziseAbstandsmessungen
- Hochpräzise Messung kleinster Winkel

Atominterferometer



- Absolut, driftfrei, hochgenau
- Beschleunigungsmesser
- Rotationssensor

Optische Uhren

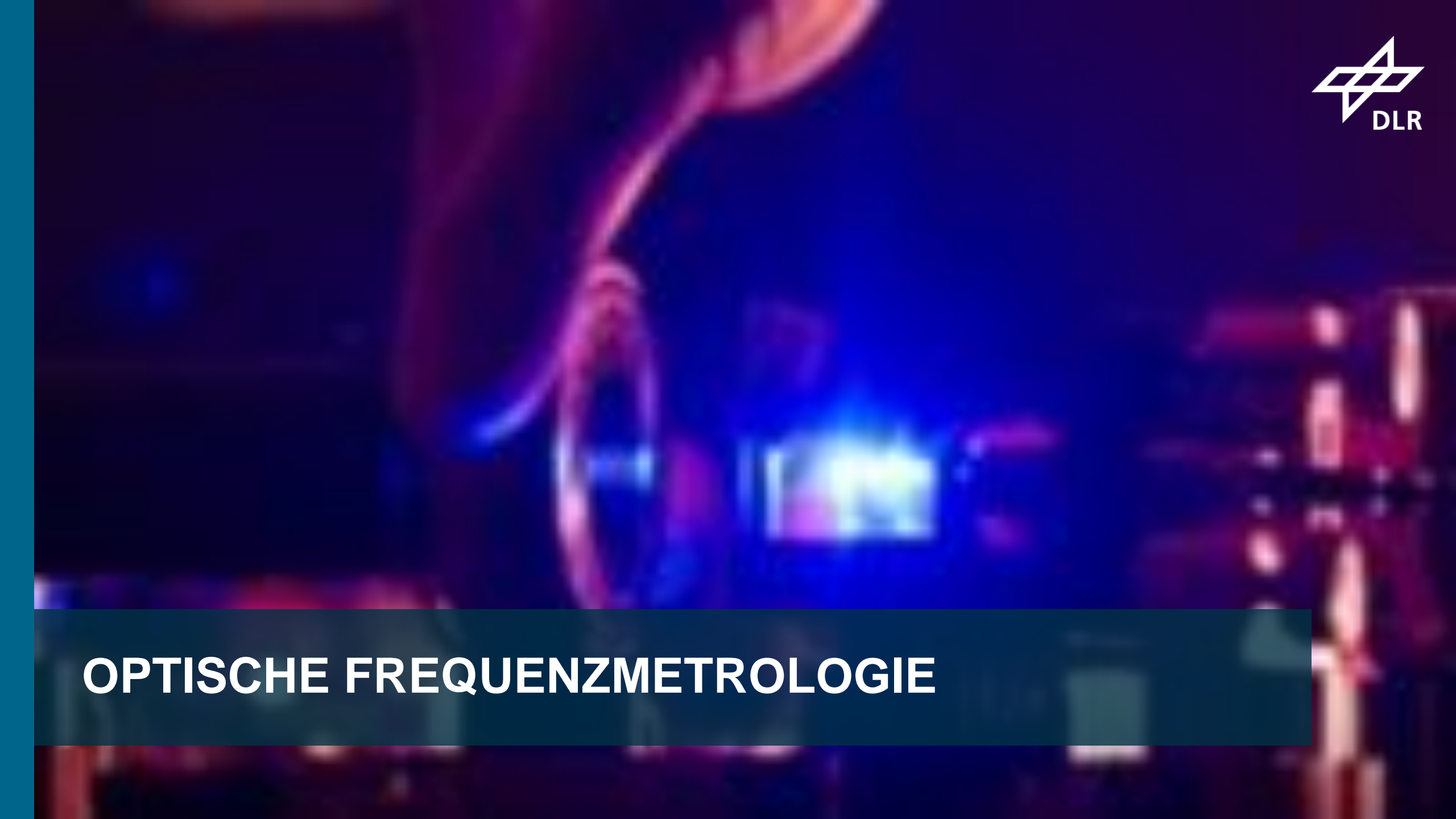


- Absolut, driftfrei, hochgenau
- Navigation
- Referenzsystem für Höhenprofile

Digital Twin: Orbitpropagation unter Berücksichtigung sämtlicher Störeffekte (Umwelt, Weltraumwetter, Satellit), Simulation von Sensorik, Systems Engineering Tools

Geodätische Modellierung und

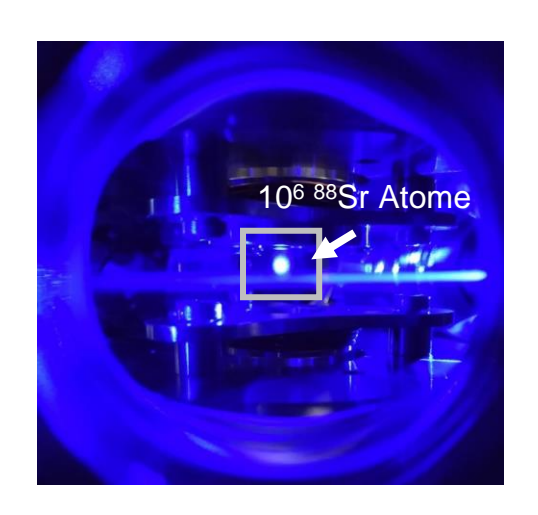
Aufbereitung von Schwerefelddaten für Öffentlichkeit, Datenanalyse-Tools

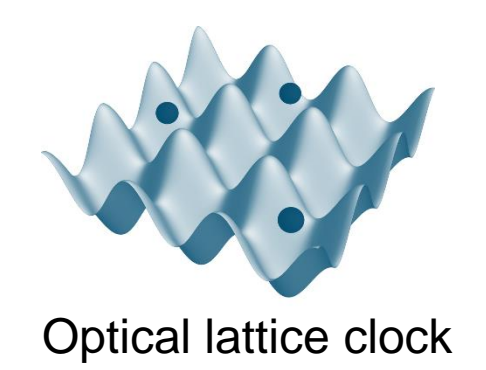


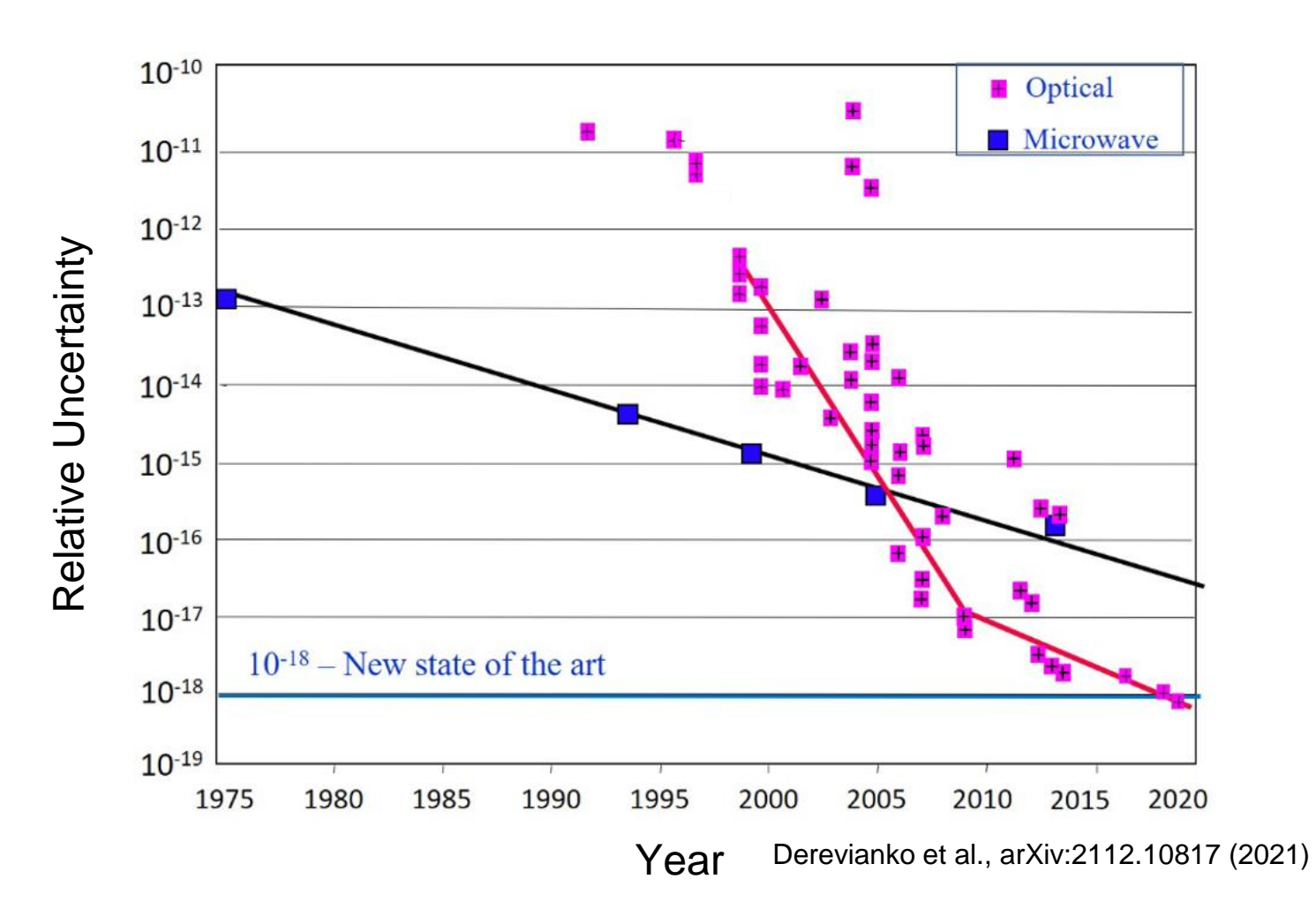
Uhrengenauigkeit





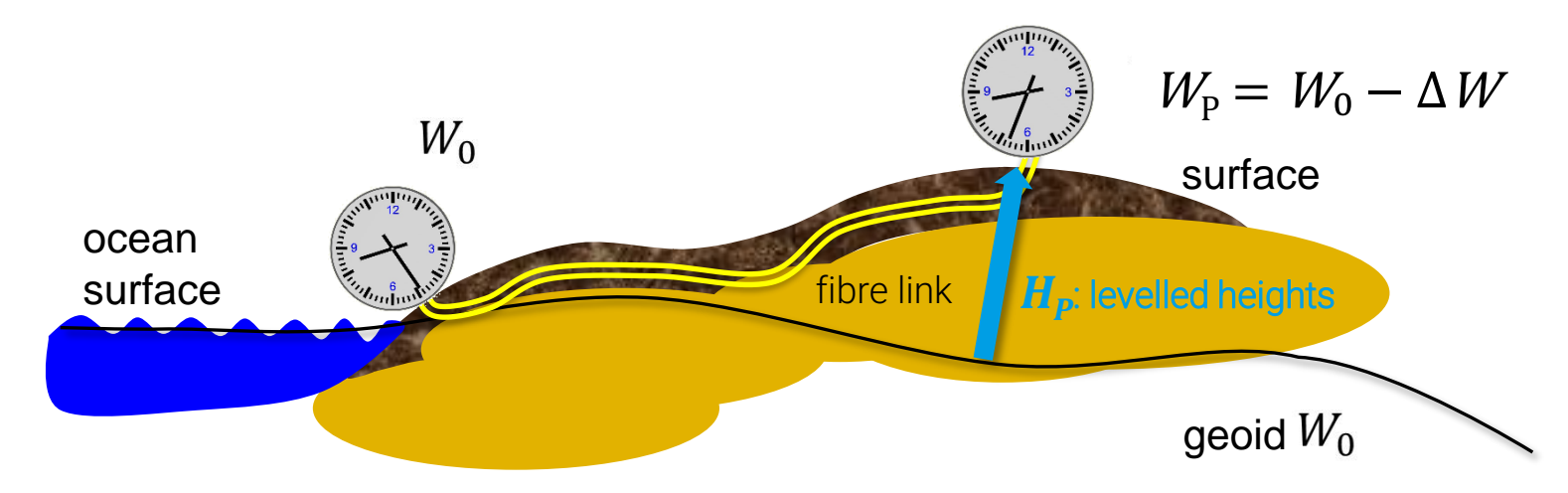






Uhrennetzwerke



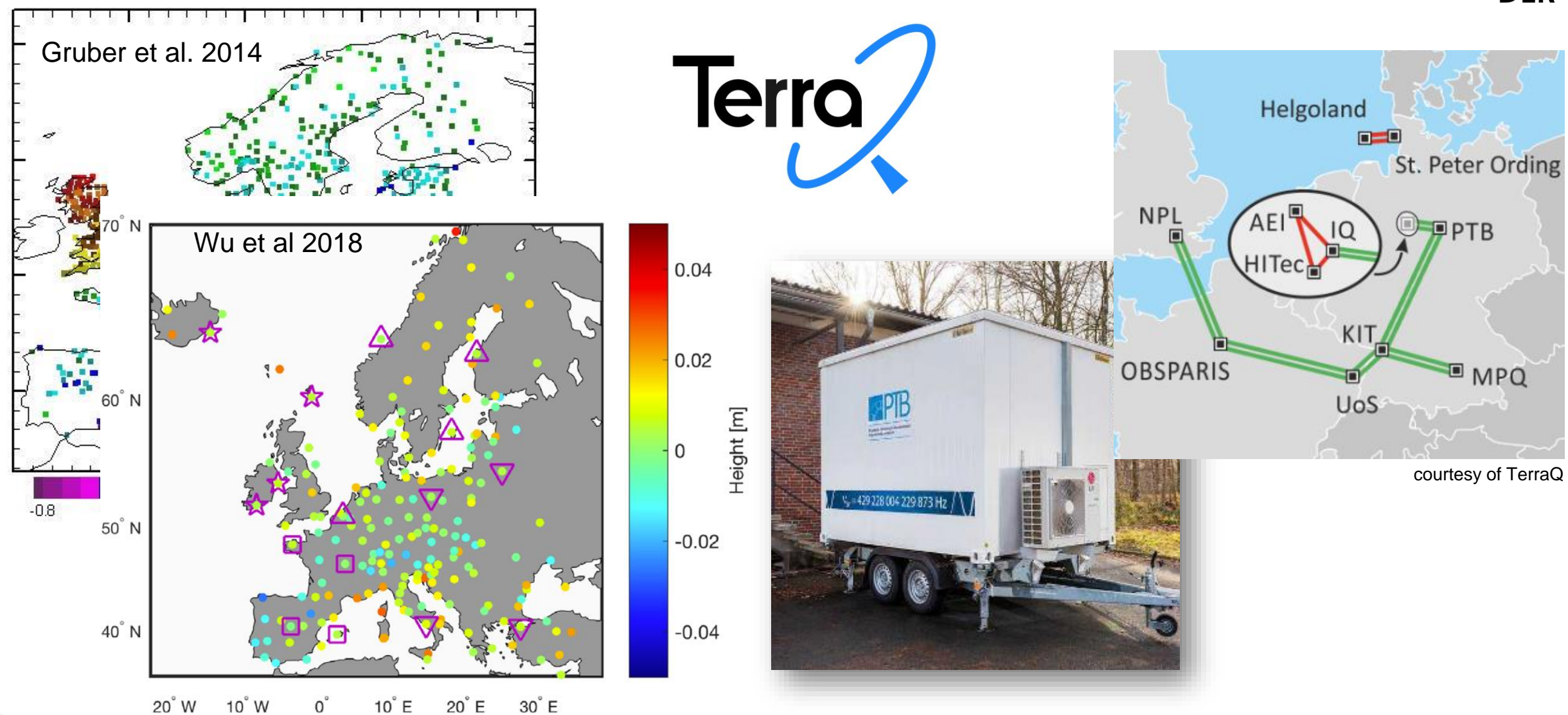


Vermeer, Reports of the Finnish Geodetic Institute 83(2), 1(1983); Bjerhammar, Bull. Geodesique 59, 207 (1985).

- Schwerepotential W: Newtonian + Zentrifugalterm
- Relativistische Frequenzgang: $\frac{\Delta f}{f} = \frac{W_0 W_P}{c^2}$
- Höhen: $H_P = \frac{W_0 W_P}{\bar{g}} = \frac{c^2}{\bar{g}} \frac{\Delta f}{f}$
- → Chronometrische Nivellement über lange Distanzen
- → Uhrenbasierte Höhensysteme

Uhrennetzwerke















RÄUMLICHE UND ZEITLICHE AUFLÖSUNG

SENSOR-RAUSCHEN HINTERGRUND-MODELLE DATEN-VERFÜGBARKEIT

Uhren



Uhren



Uhren

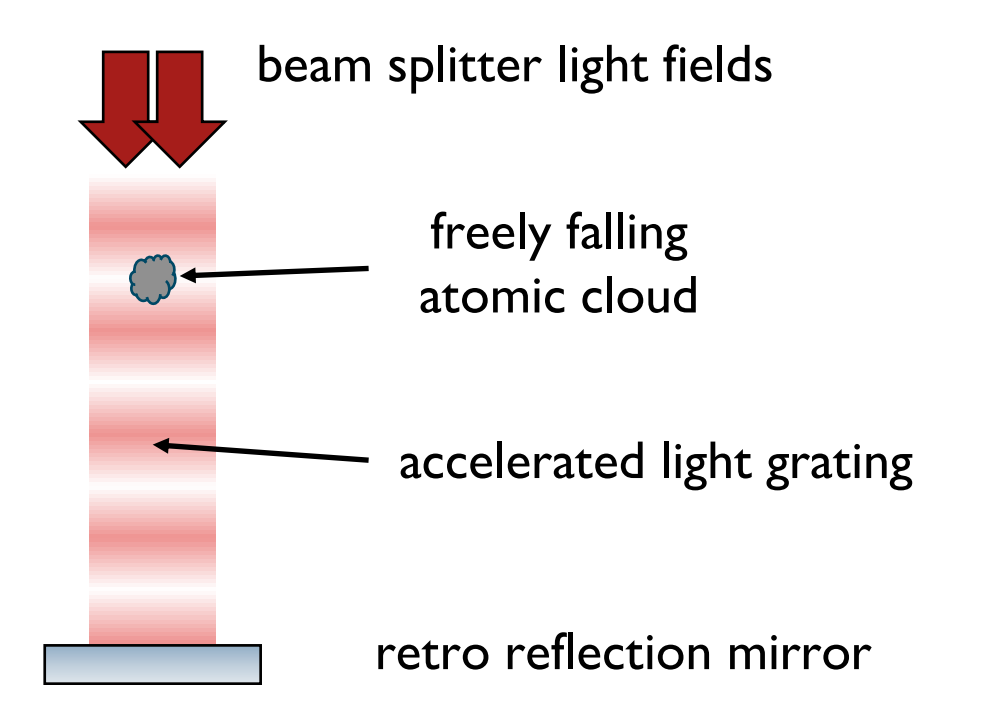


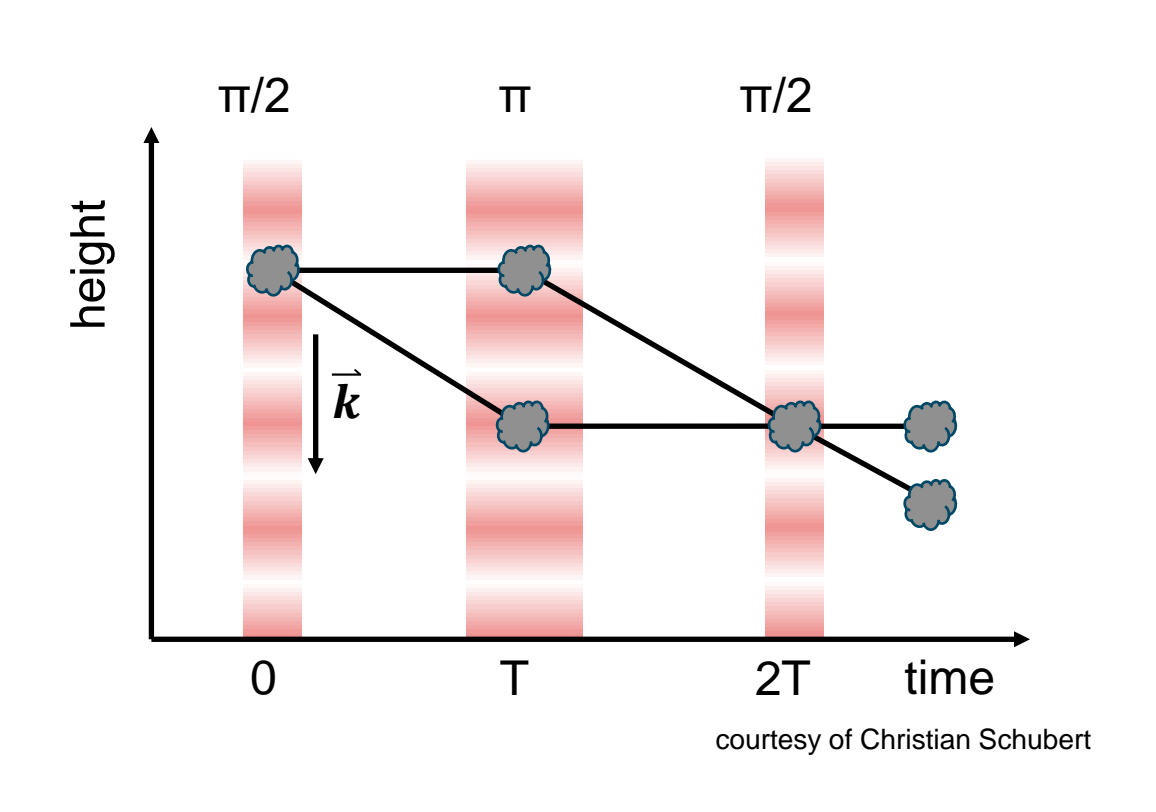


Atominterferometrie



Atome im freien Fall in einer Mach-Zehnder $\pi/2 - \pi - \pi/2$ Pulsgeometrie:





Beschleunigung
$$\vec{a}$$
: $\phi_{acc} = \vec{k} \cdot \vec{a} T^2$

Atominterferometrie in der Geodesie



Quantum gravimeter

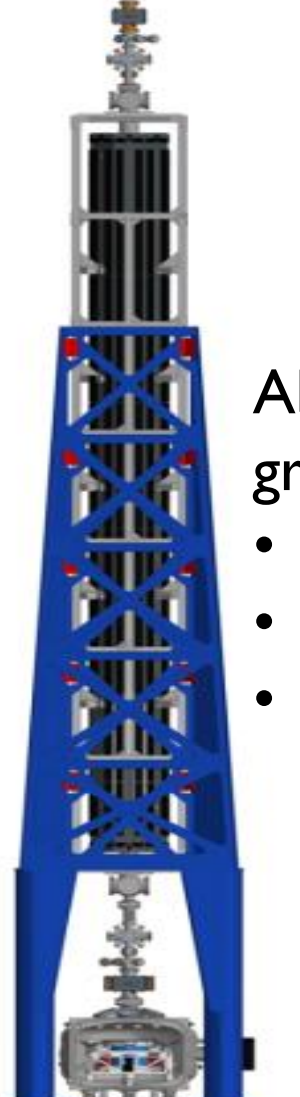


from Heine et al. 2020

Absolutgravimeter

- transportabel
- driftfrei
- miniaturisierbar

VLBAI

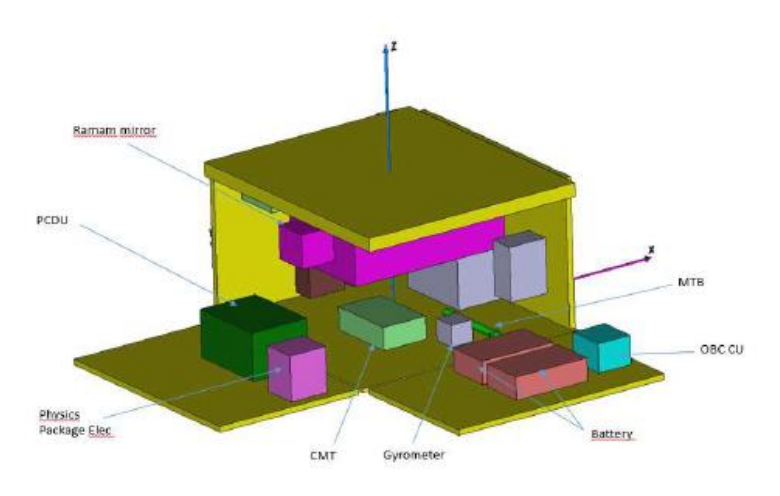


Absolutgravimeter

- stationär
- driftfrei
- Langzeitstabile
 Schwere referenz

CARIOQA

Cold Atomium
Rubidium Interferometer in
Orbit for Quantum
Accelerometry



from Lévèque et al. 2022





CARIOQA - Consortium



CARIOQA-PMP vereint 17 Partner aus 5 EU Ländern:



Coordination CNES and DLR under CNES lead



Satellite instrument development

Airbus Defence and Space, Exail, TELETEL, LEONARDO

AIRBUS exail teletel

Quantum sensing LUH, SYRTE, LP2N, LCAR, ON

ERA, IESL/FORTH















Space geodesy, Earth sciences

LUH, TUM, POLIMI, DTU



Technical University of Denmark











Impact maximization and impact assessment

FORTH/ PRAXI Network, G.A.C. Group



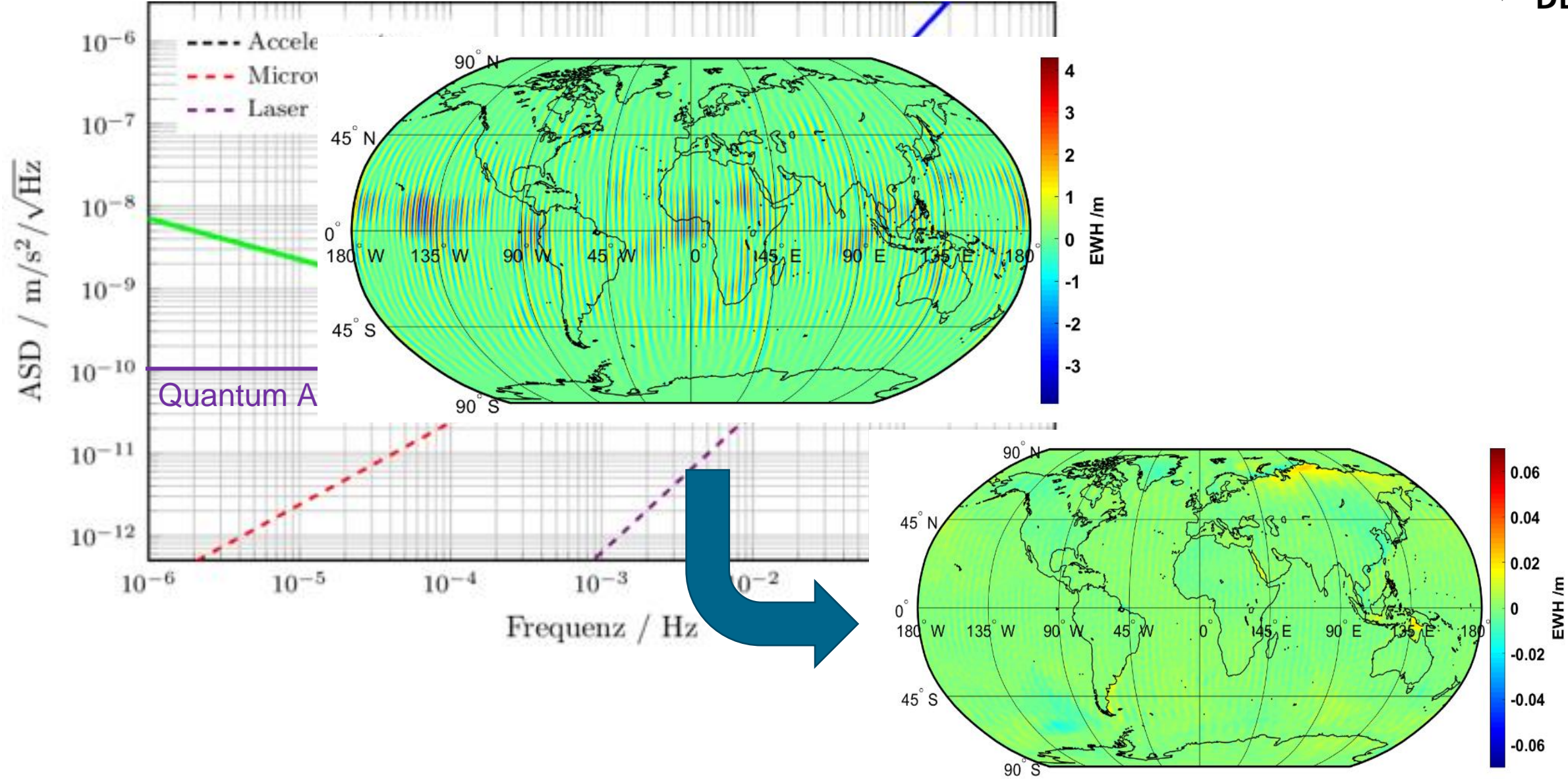






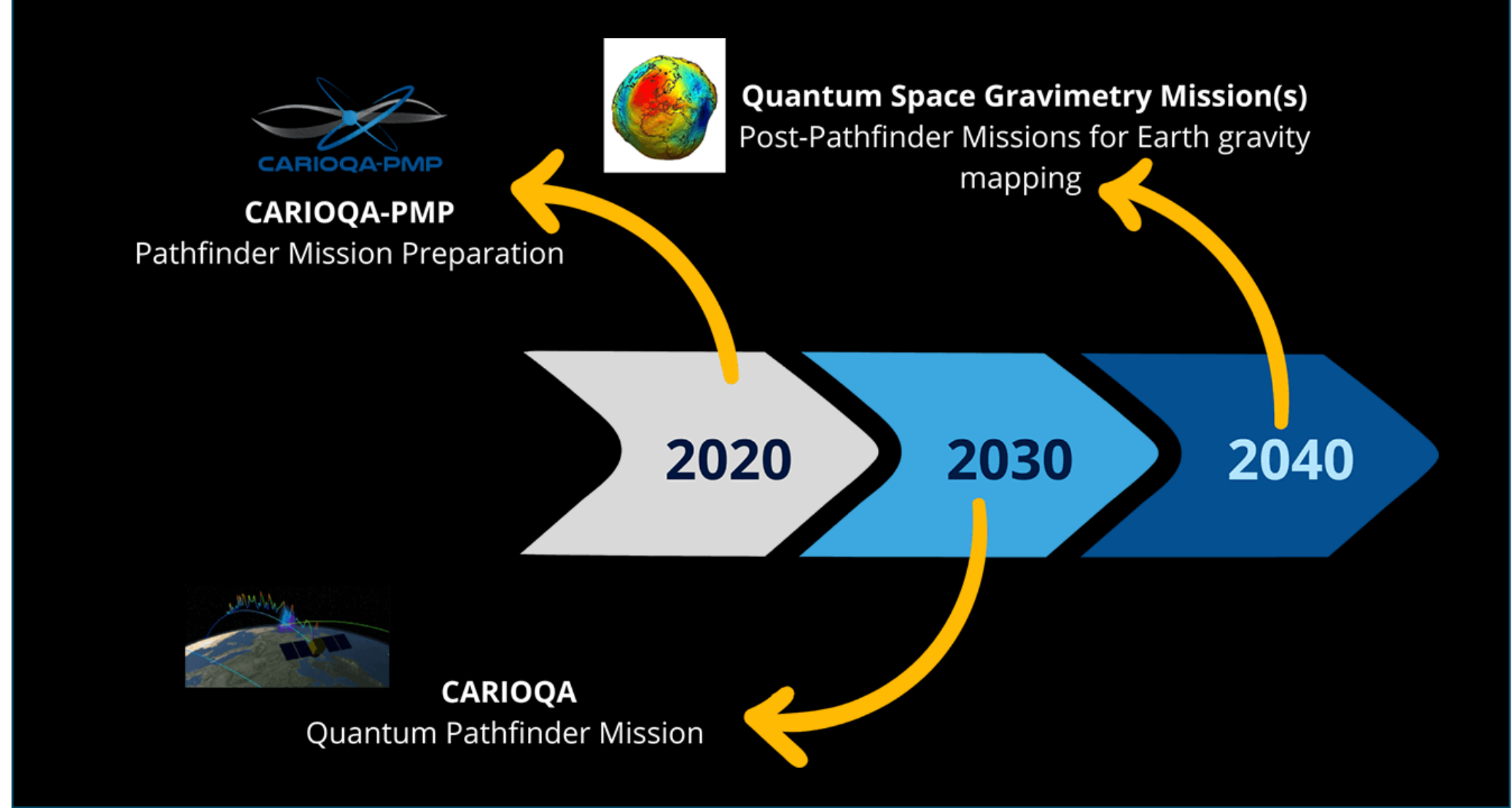
CARIOQA





CARIOQA















RÄUMLICHE UND ZEITLICHE AUFLÖSUNG

SENSOR-RAUSCHEN

HINTERGRUND-MODELLE DATEN-VERFÜGBARKEIT

Uhren

CAI

+

Uhren



CAI

Uhren

CAI



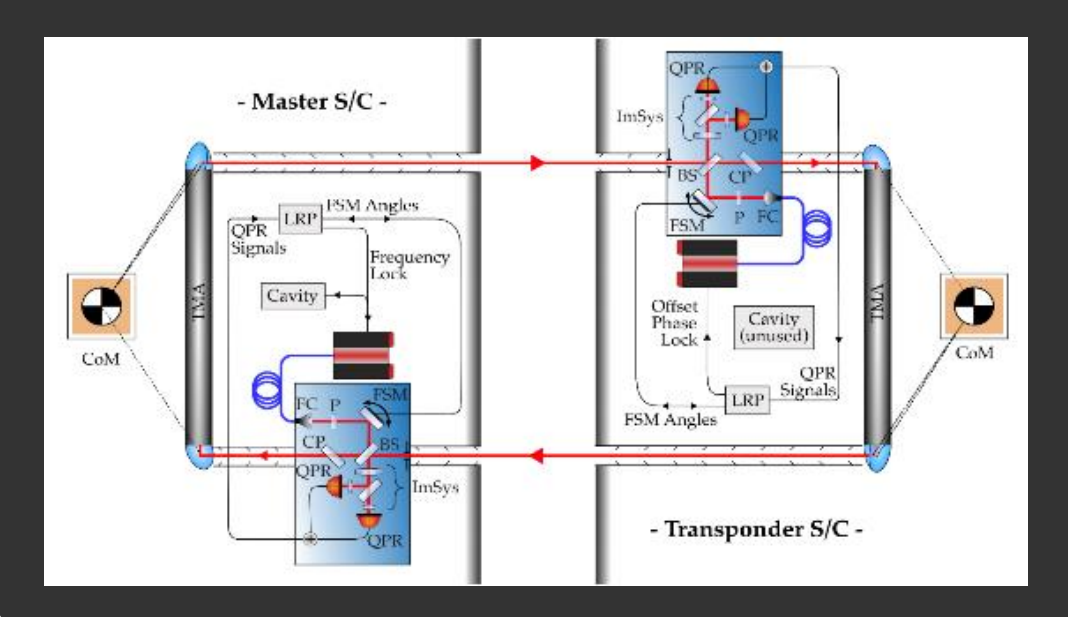


Satellitengravimetrie mit Laserinterferometrie



Optische Bank der nächsten Generation

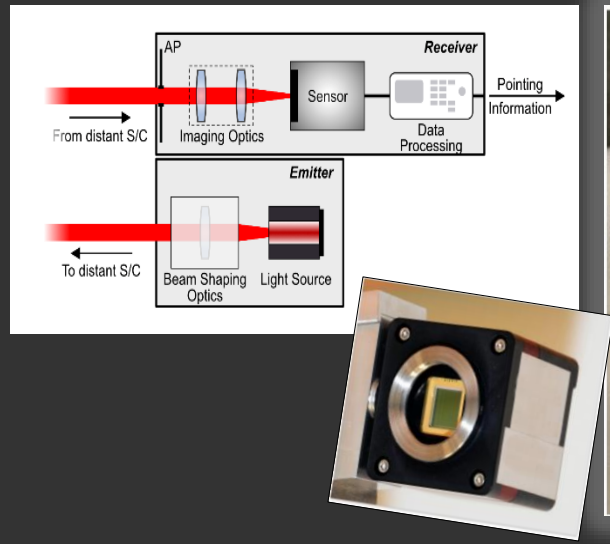
Neue Konzepte für die Miniaturization des Ranging-Systems

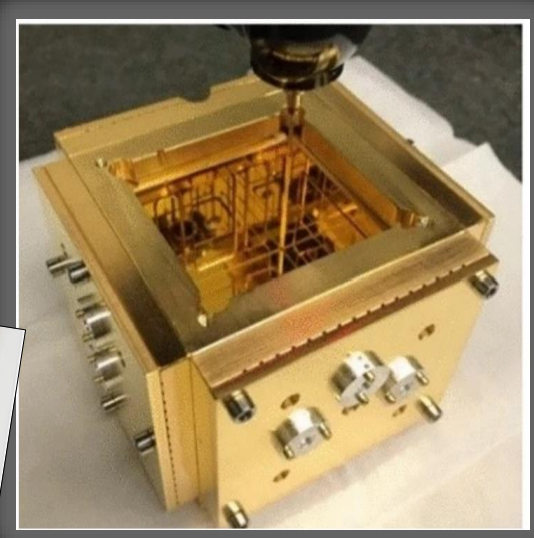


Neue Sensortypen

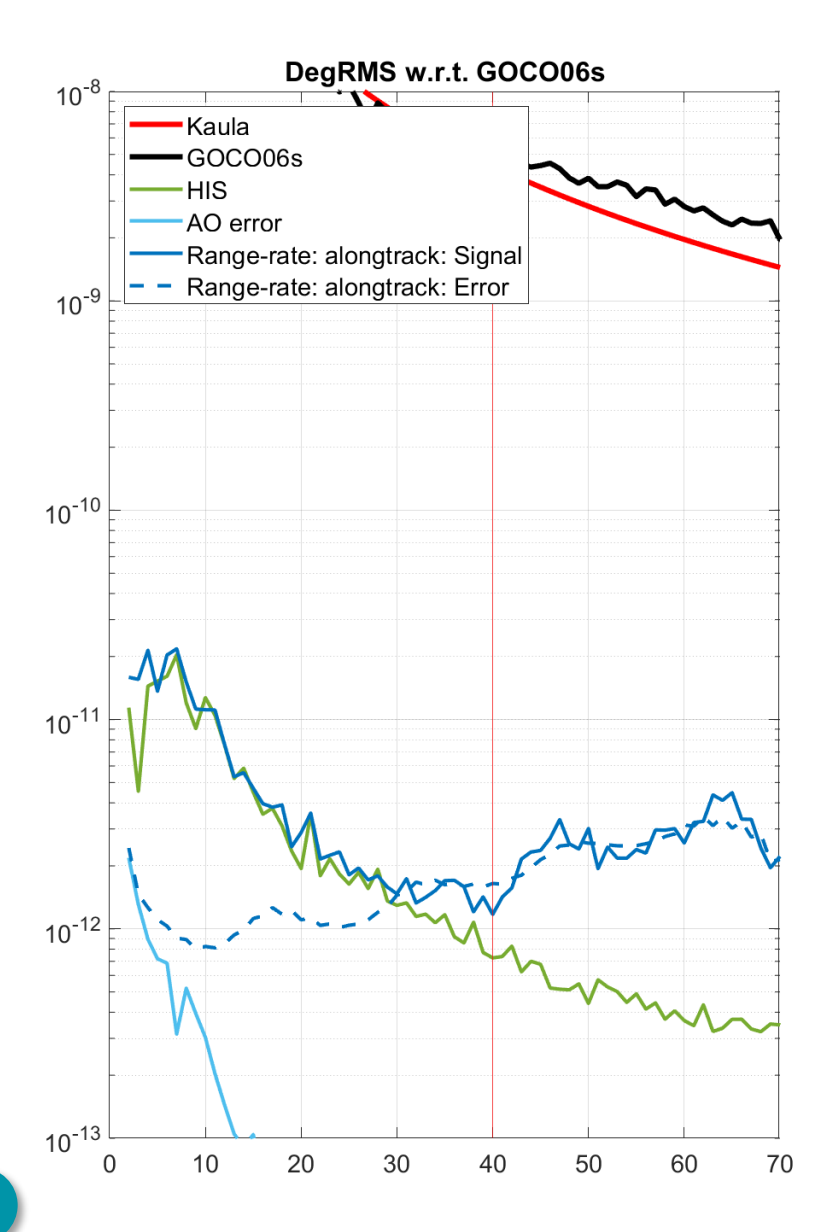
MiniCAS

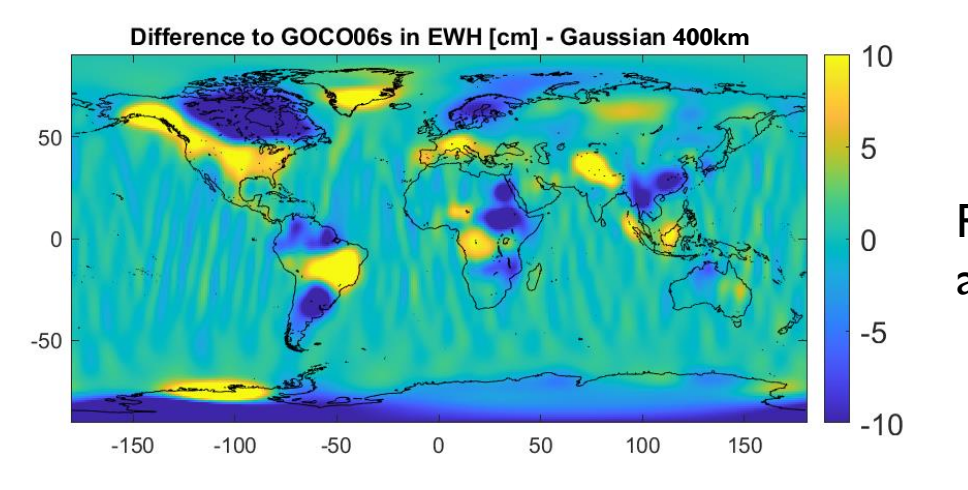
Gravitational Reference Sensor





Simulationsstudie

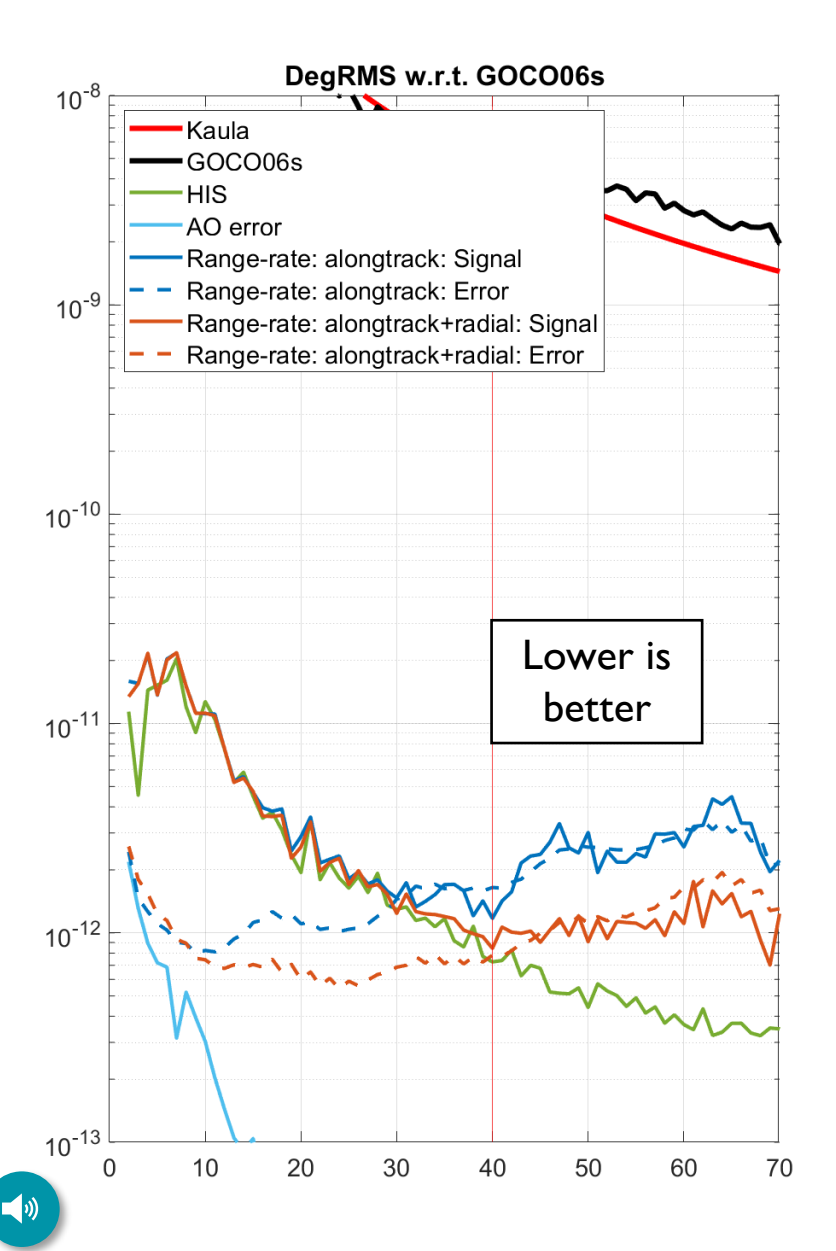


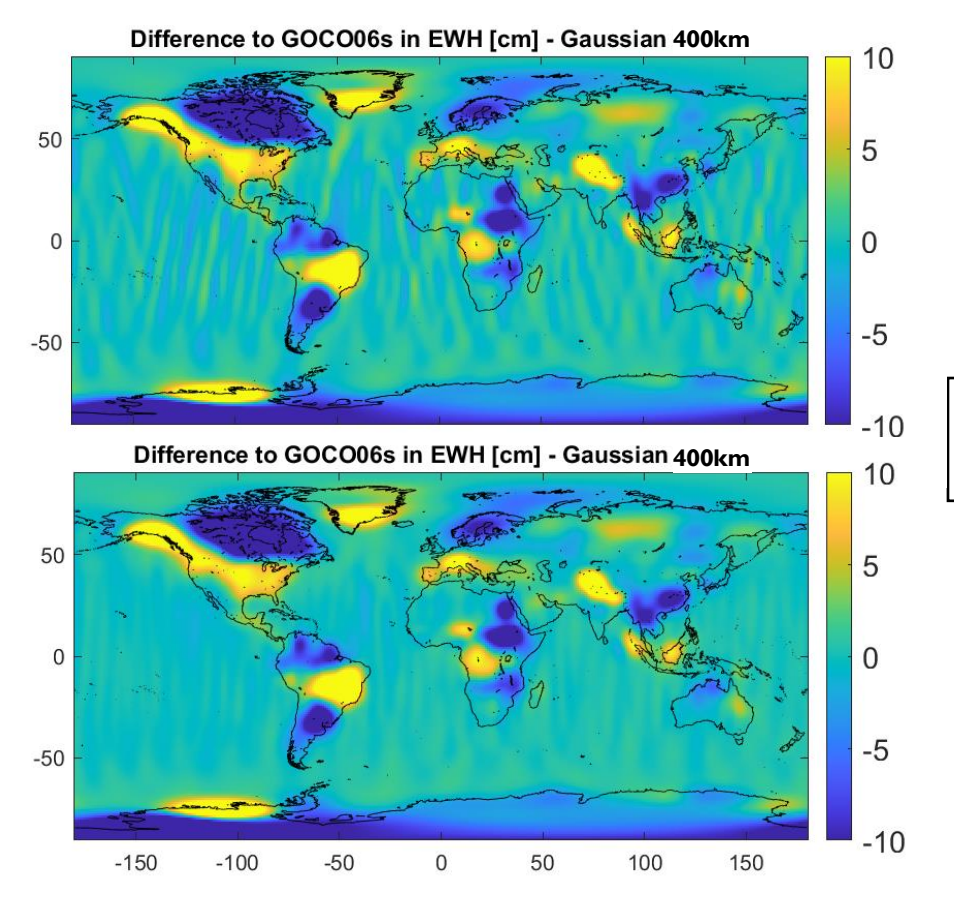




Range-rate alongtrack

Simulationsstudie





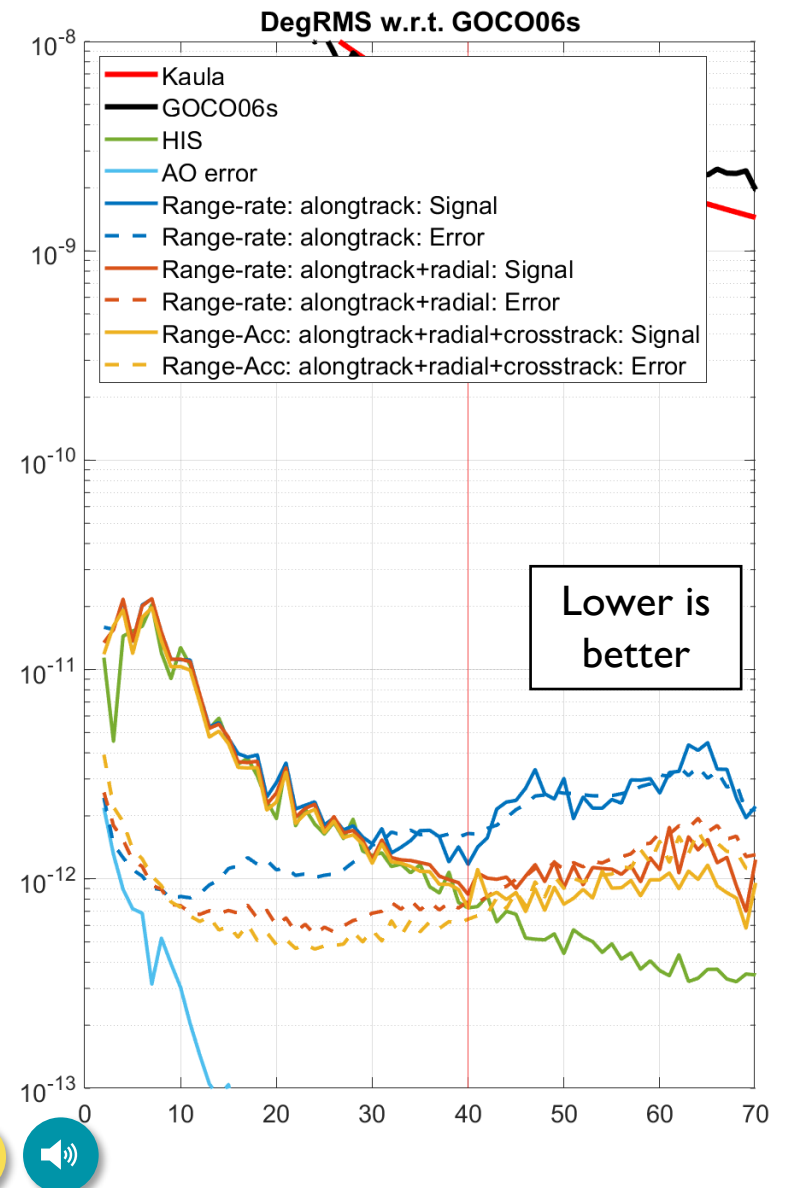


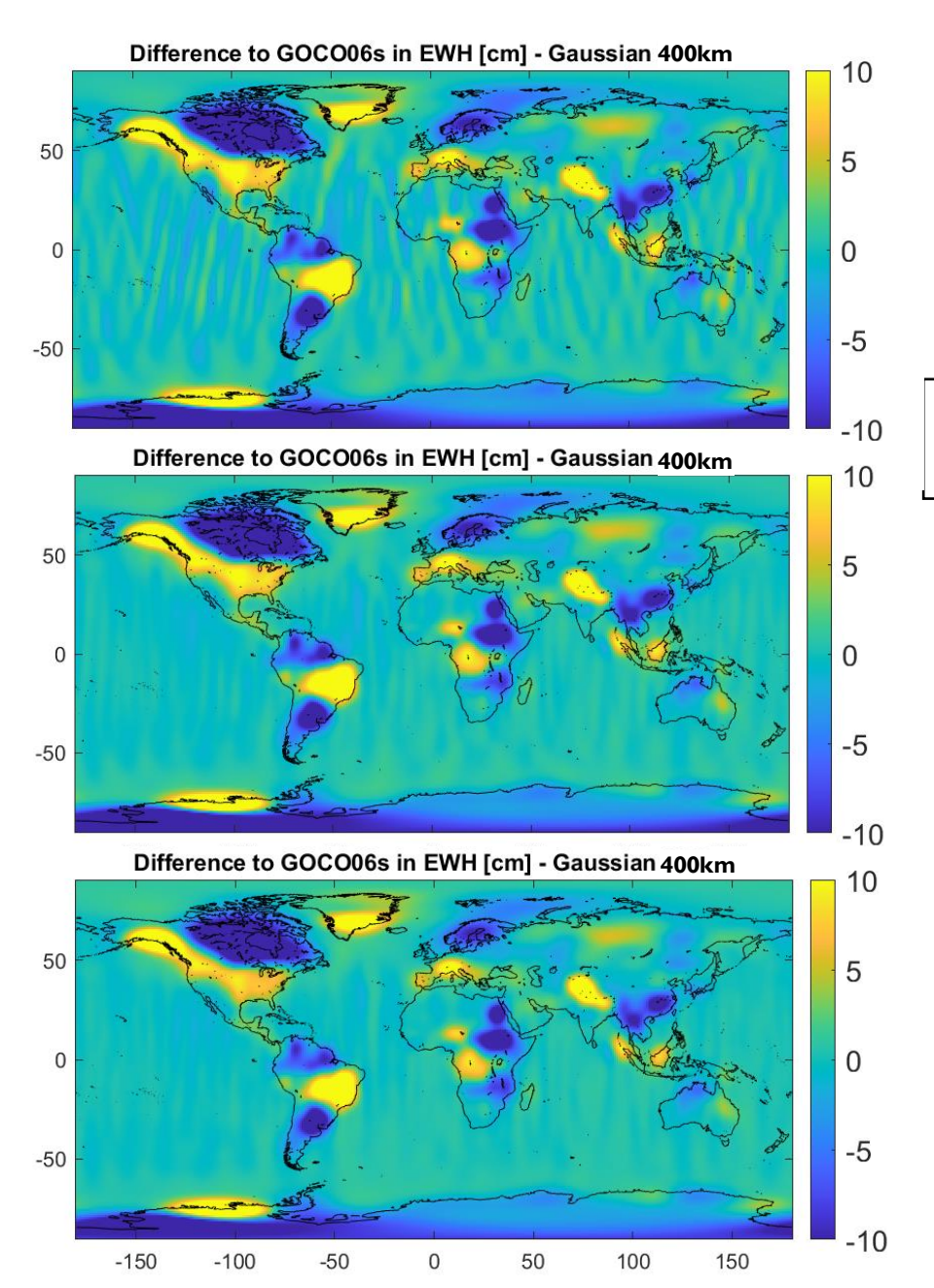
Range-rate along-track

Smoother is better

Range-rate along-track + radial

Simulationsstudie







Range-rate along track

Smoother is better

Range-rate along track + radial

Range-acceleration along-track + radial + cross-track













RÄUMLICHE UND ZEITLICHE **AUFLÖSUNG**

SENSOR-**RAUSCHEN** HINTERGRUND-**MODELLE**

DATEN-**VERFÜGBARKEIT**

Uhren



Uhren



Uhren



CAI



CAI



CAI

Neue

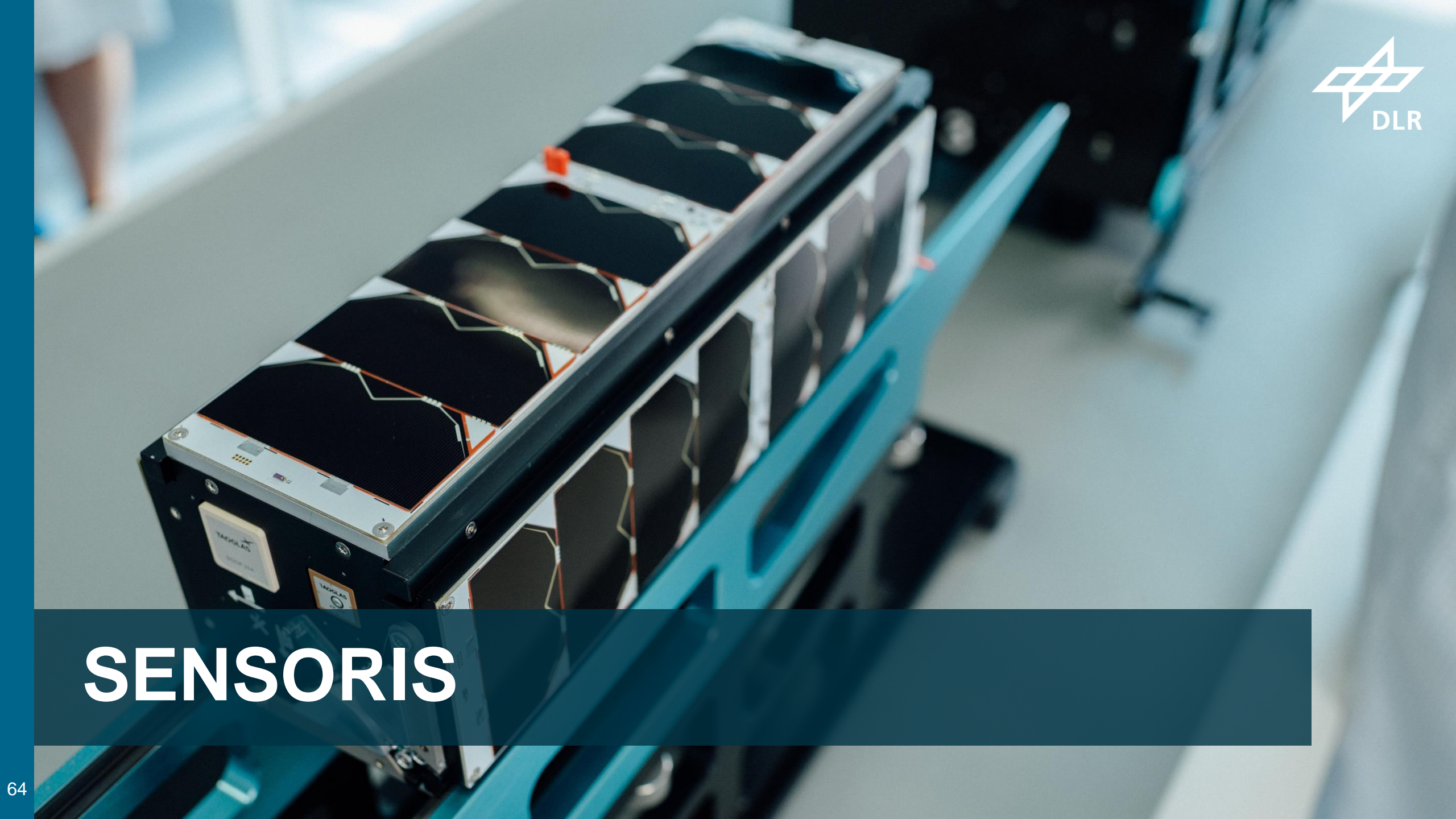




LRI/LRX

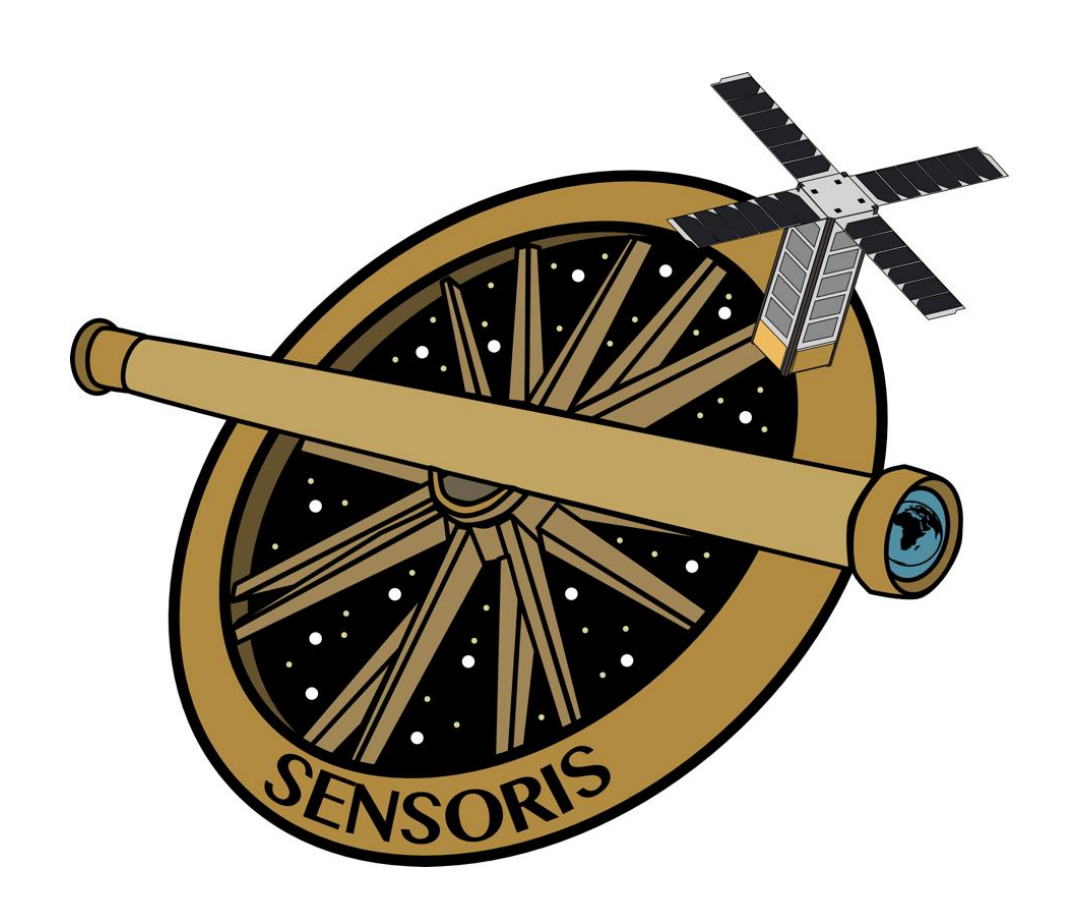






Neue Schwerefeldmission





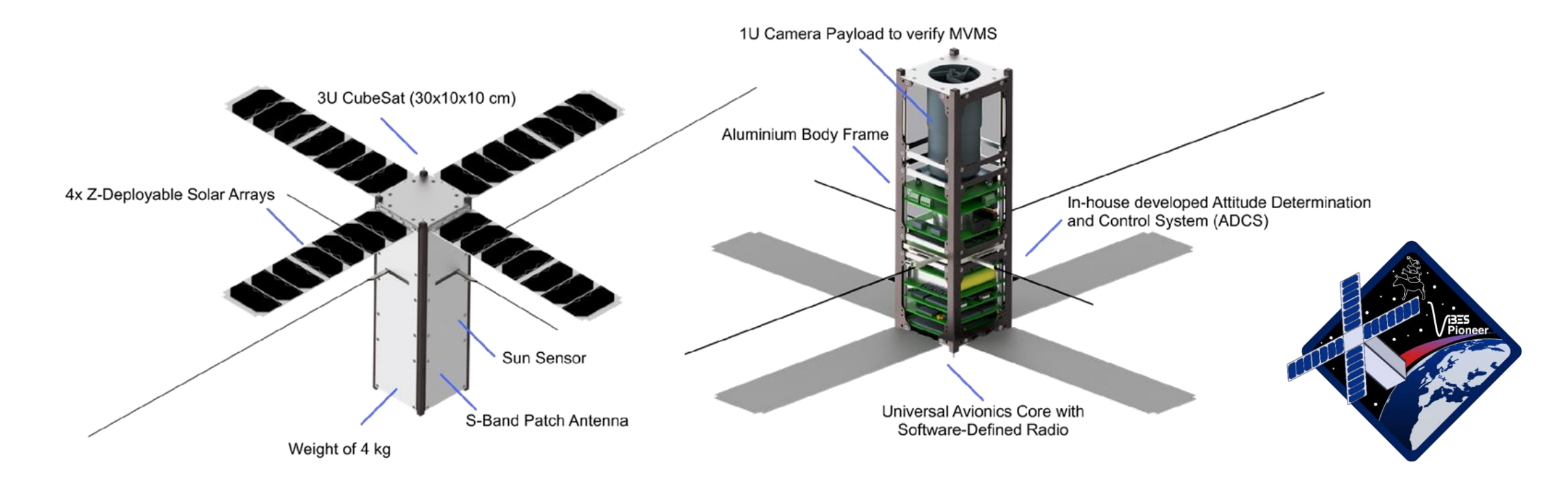
Beobachtung des zeitvariablen Schwerefeldes niedriger Ordnung mit hoher zeitlicher Auflösung durch CubeSats-Konstellationen

- Aufruf der DLR-Raumfahrtagentur zu neuen Satellitenkonzepten für EO
- Missionstyp II (max. 30 Mio € ohne Start)
- New Space Approach (reduzierte ECSS-Standards)
- Anschubfinanzierung für eine Machbarkeitsstudie 200k€
- Start 3 Jahre nach der Machbarkeitsstudie

Technologie



- Basierend auf dem VIBES Pioneer
- Bremens 1. von Studenten gebauter Satellit zur Verbesserung der optischen Leistung von Raumfahrzeugen mit Hilfe von Unterhaltungselektronik
- Eines von acht europäischen Projekten für eine kostenlose Startmöglichkeit durch das DLR
- Der Start ist für 2026 zu einer 500km sonnensynchronen Umlaufbahn geplant



Raumsegment





Konzept für die Satelliten CubeSat-Satellitenplattform (3U)

- Voraussichtliche Kosten pro Satellit: 500K €
- GNSS als primäre Beobachtung
- Beschleunigungsmessung optional

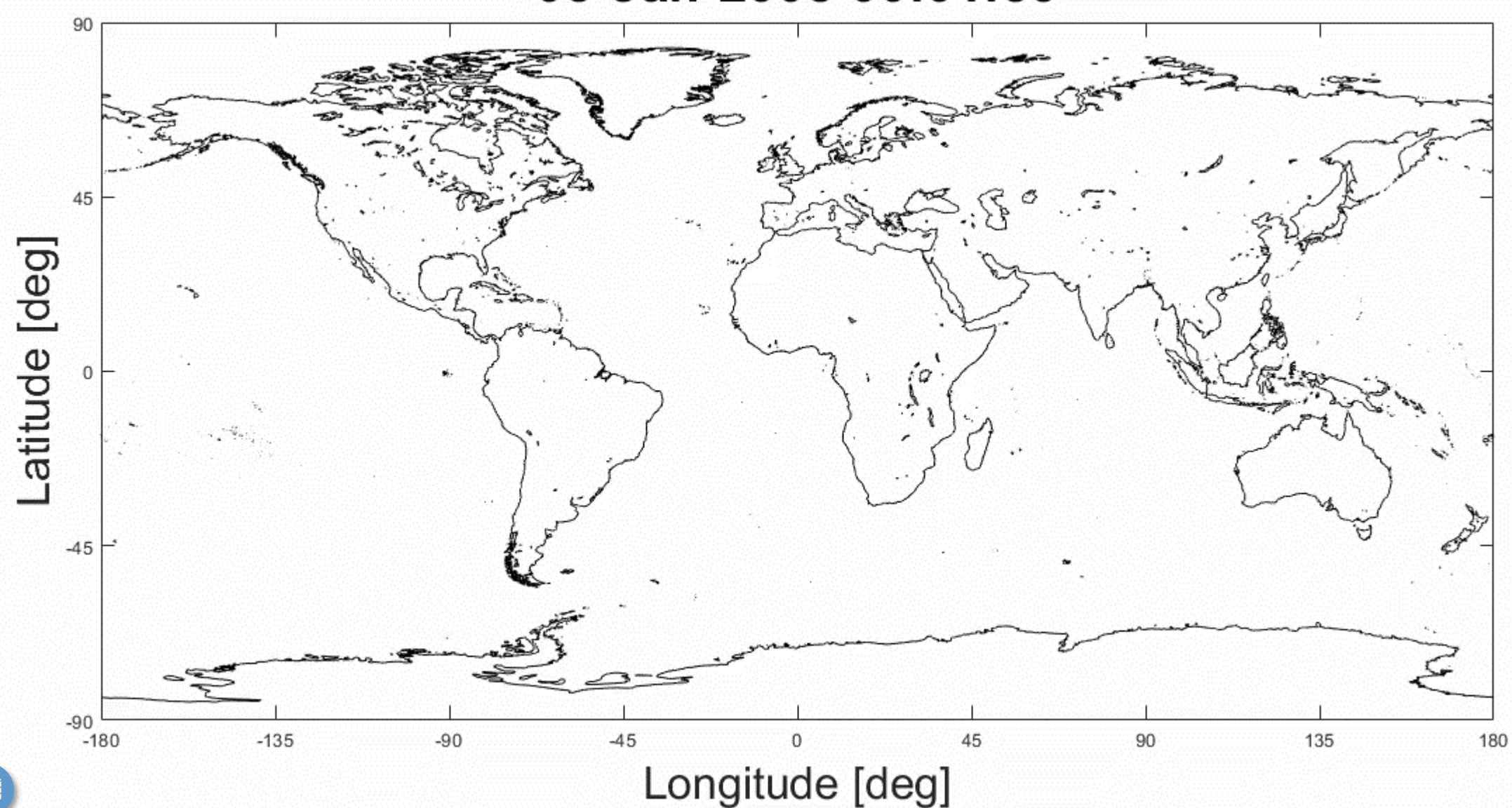
Konzept für die Konstellation:

- HLSST-Tracking
- Niedrige Erdumlaufbahnen (< 500km)
- Polare Umlaufbahn
- 16 Satelliten

Abdeckung der Erde





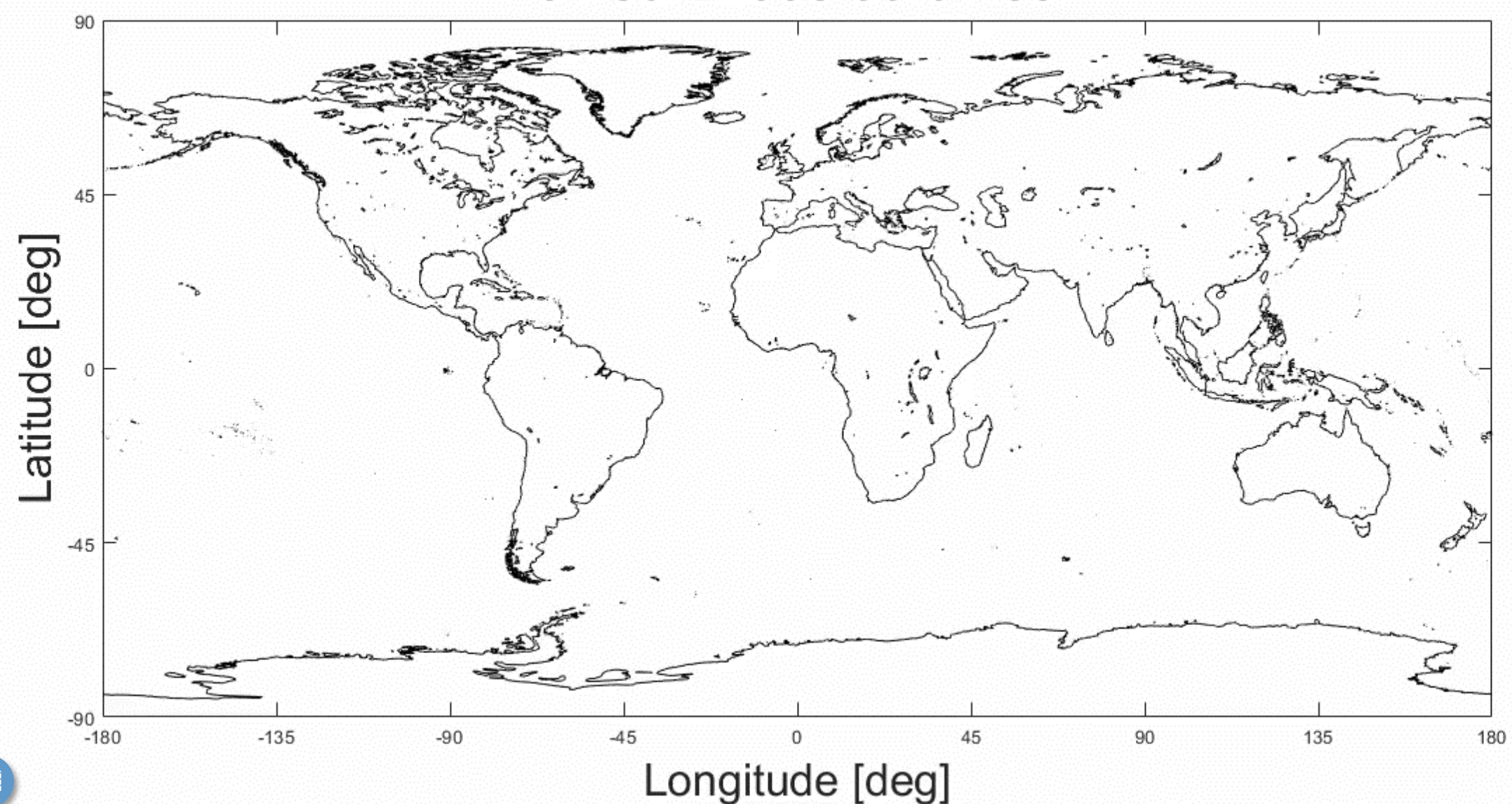




Abdeckung der Erde



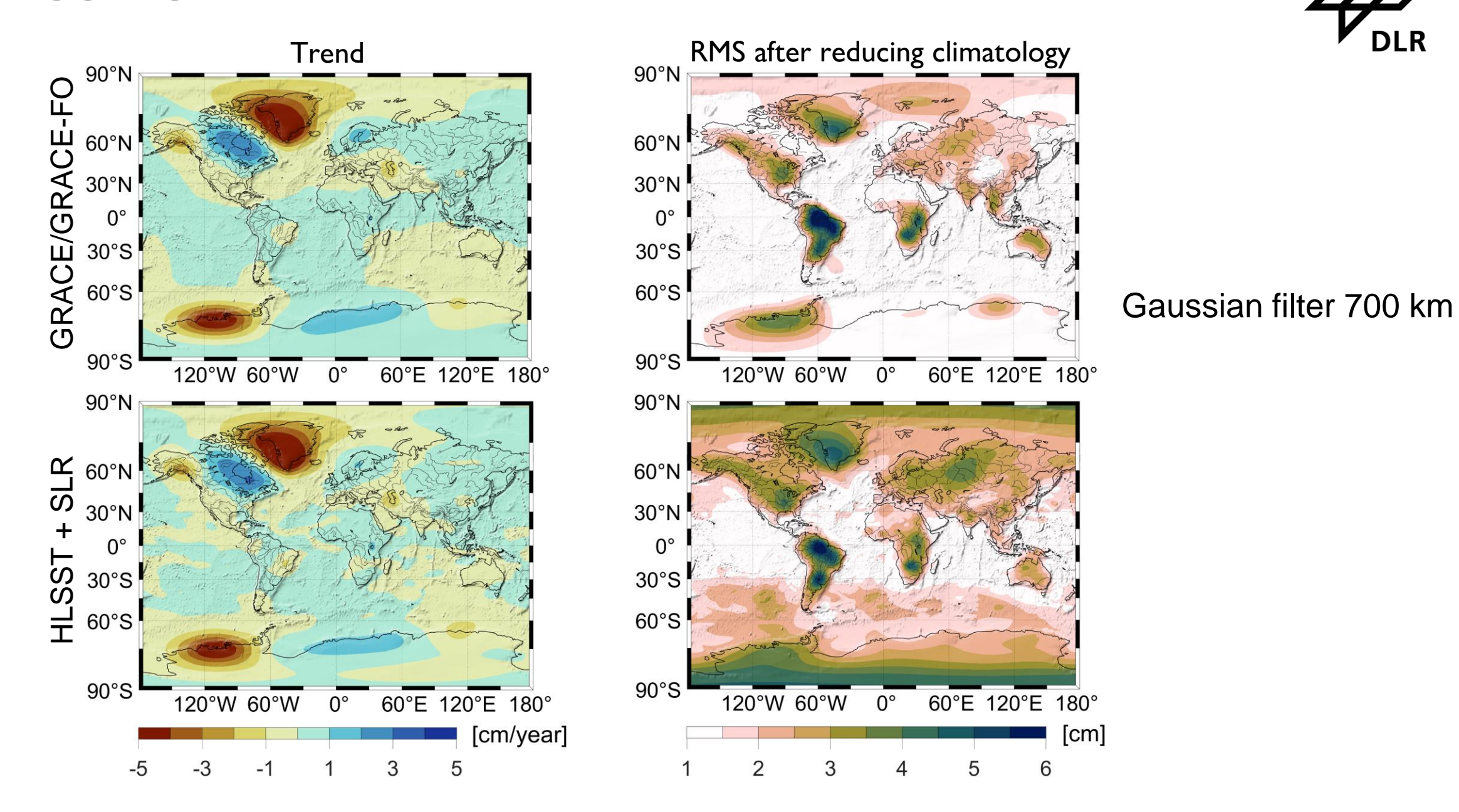






HL-SST+SLR



















RÄUMLICHE UND ZEITLICHE **AUFLÖSUNG**

SENSOR-**RAUSCHEN** HINTERGRUND-**MODELLE**

DATEN-**VERFÜGBARKEIT**

Uhren



Uhren



Sensoris



Uhren



CAI



CAI



CAI



Neue Konzepte



LRI/LRX **GRS**

MiniCAS Sensoris

Zusammenfassung



- Energiesysteme sind vom Wassermangel und Extremwetter betroffen.
- Indirekte Effekte, wie z.B. gestörte Wassertransportwege, können ebenfalls die Verfügbarkeit von Energiesystemen beeinflussen.
- Mit Hilfe der Satellitengravimetrie kann die Veränderung der Wasserressourcen flächendeckend beobachtet werden.
- Quantentechnologien versprechen die notwendige Genauigkeitssteigerungen, um eine höhere räumliche und zeitliche Auflösung zu erreichen.



Das Schwerefeld zu beobachten heißt das Klima zu beobachten: der Schlüssel für ein besseres Ressourcenmanagement





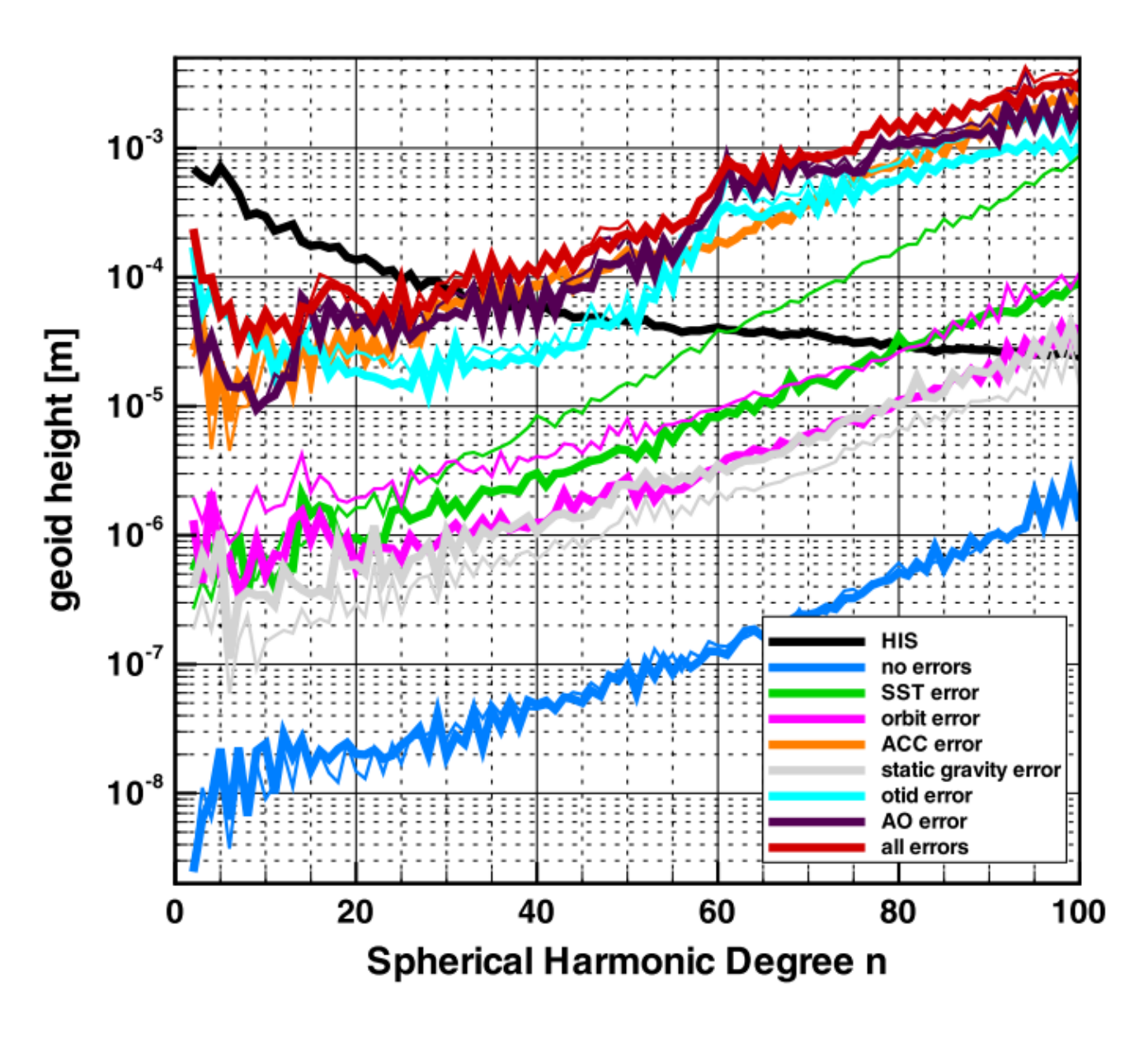
Limitations

DIR

Fig. 10 Degree amplitudes in terms of geoid height error for May 2021 for different individual instrument and model errors (see legend). The thin and bold lines show the results obtained with MWI and LRI, respectively. The blue curve shows the numerical accuracy of the full-scale simulations (no errors applied) which is about 3 orders of magnitude below the current GRACE-FO error level. The black line depicts the monthly mean HIS signal

Flechtner, Frank; Neumayer, Karl-Hans; Dahle, Christoph; Dobslaw, Henryk; Fagiolini, Elisa; Raimondo, Jean-Claude; Güntner, Andreas (2016):

What Can be Expected from the GRACE-FO Laser Ranging Interferometer for Earth Science Applications? In: A. Cazenave, N. Champollion, J. Benveniste und J. Chen (Hg.): Remote Sensing and Water Resources, Bd. 37. Cham: Springer International Publishing, S. 263–280.



Trend in TWS

-2.0

-0.5

-1.0

0.5

1.0

1.5

0.0

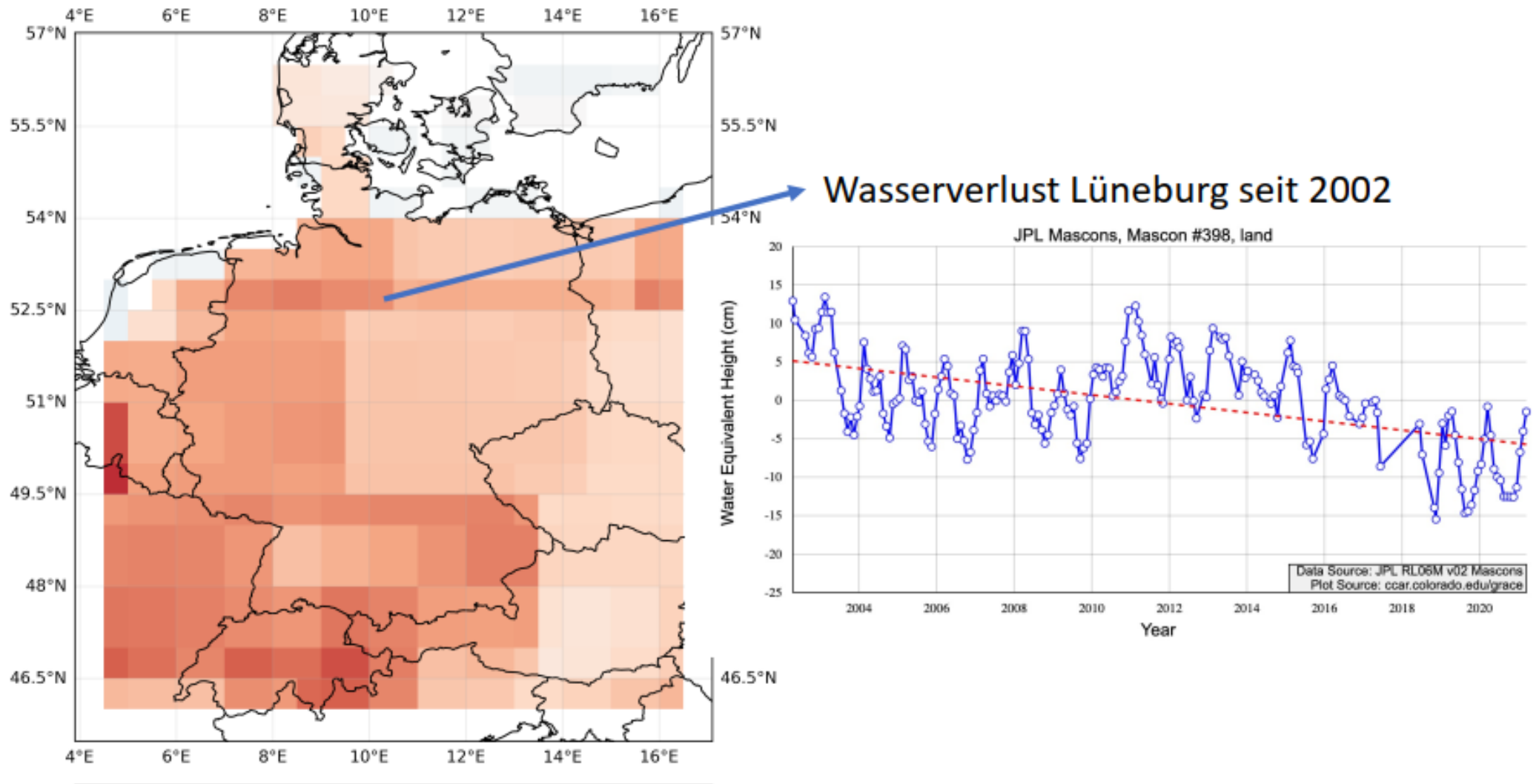
cm/year



Global Institute for

Water Security

USASK



The carbon cycle in sight ...



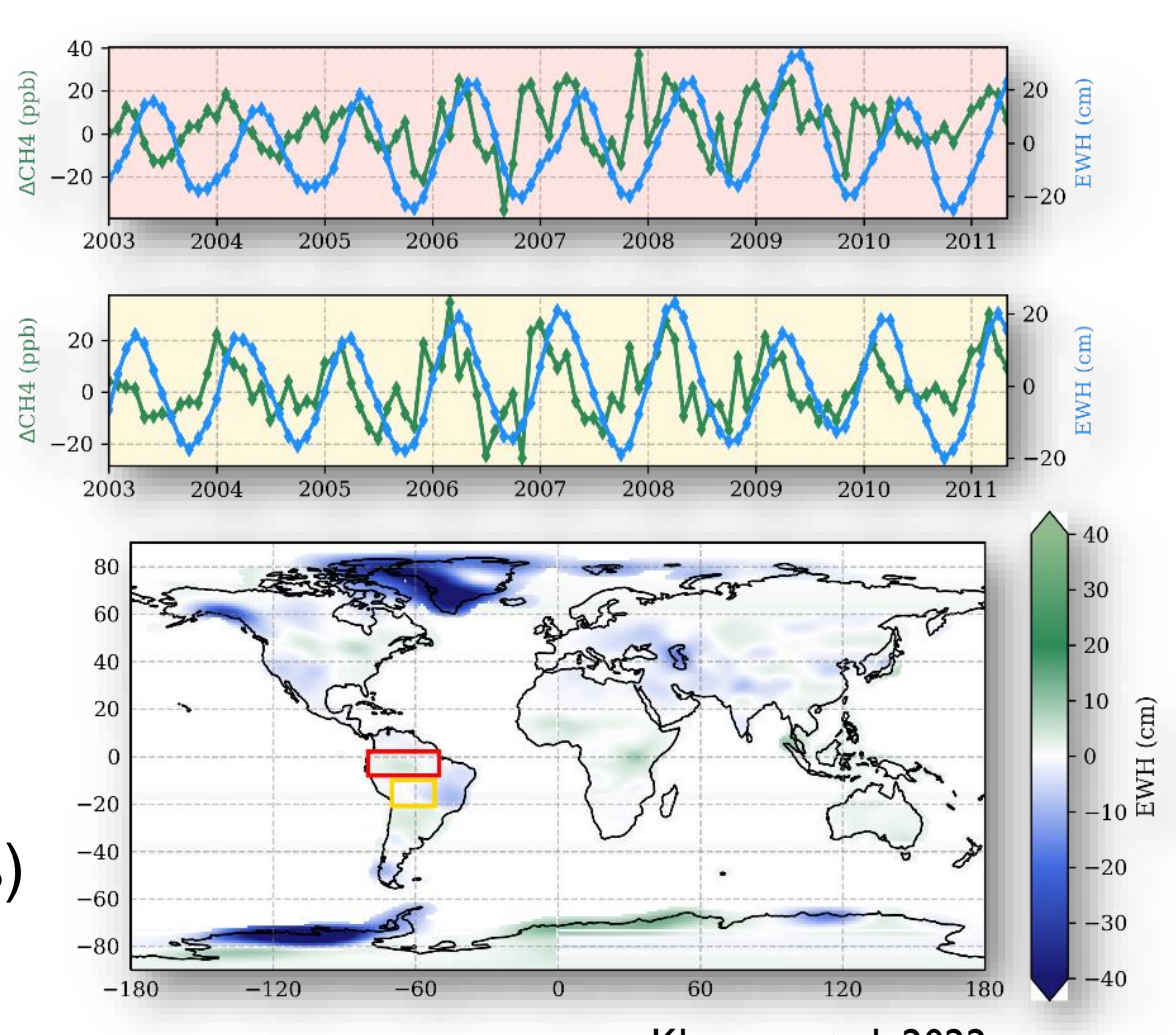
Wetlands are the largest natural Methan (CH4) source

Project:

Wechselwirkung zwischen Kohlenstoff- und Wasserkreislauf



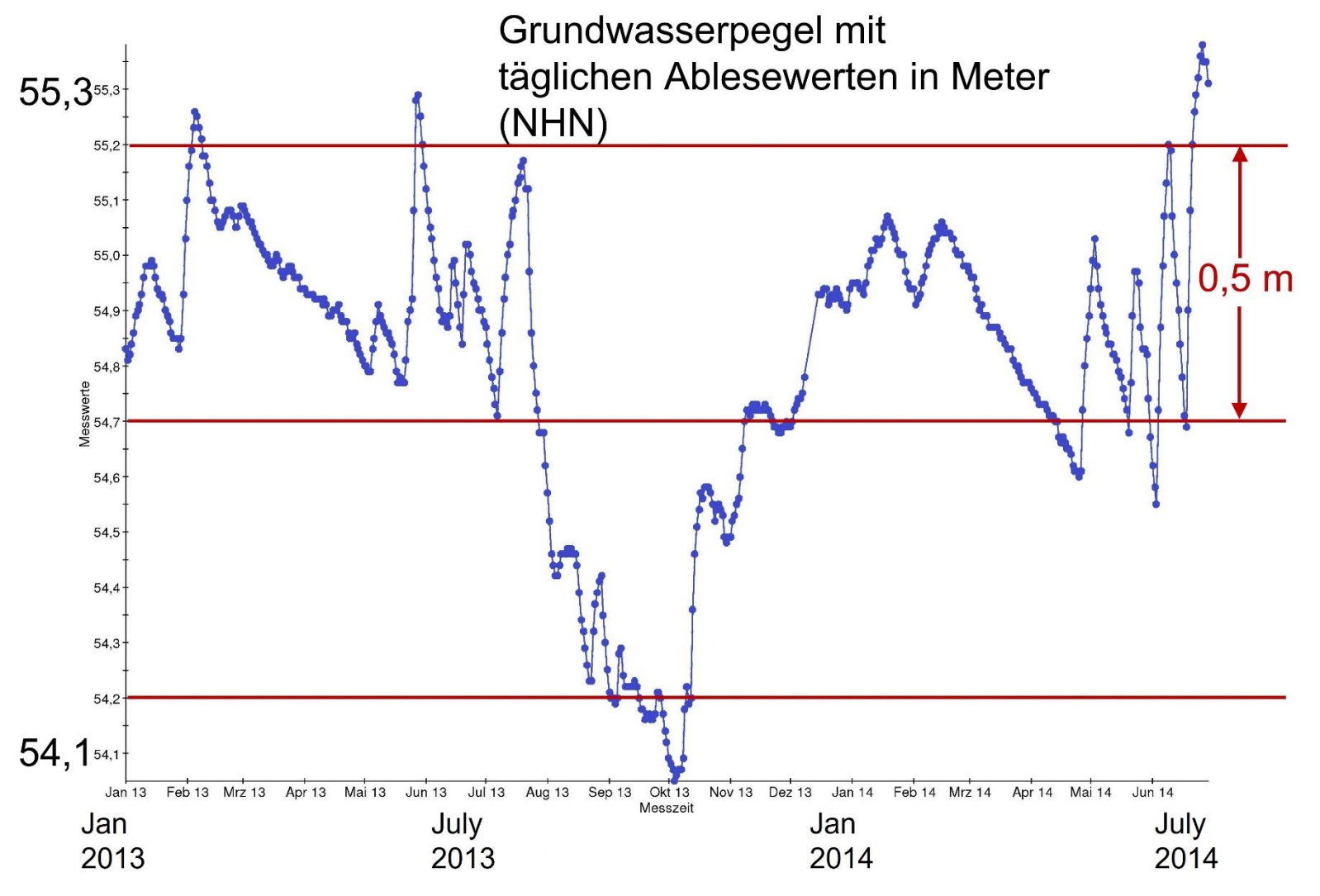
CH4 is produced during anaerobic decomposition (Methanogenesis)



Klemme et al. 2022

Test der Grundwasserüberwachung mit Feldgravimetrie im Beregnungsgebiet Uelzen





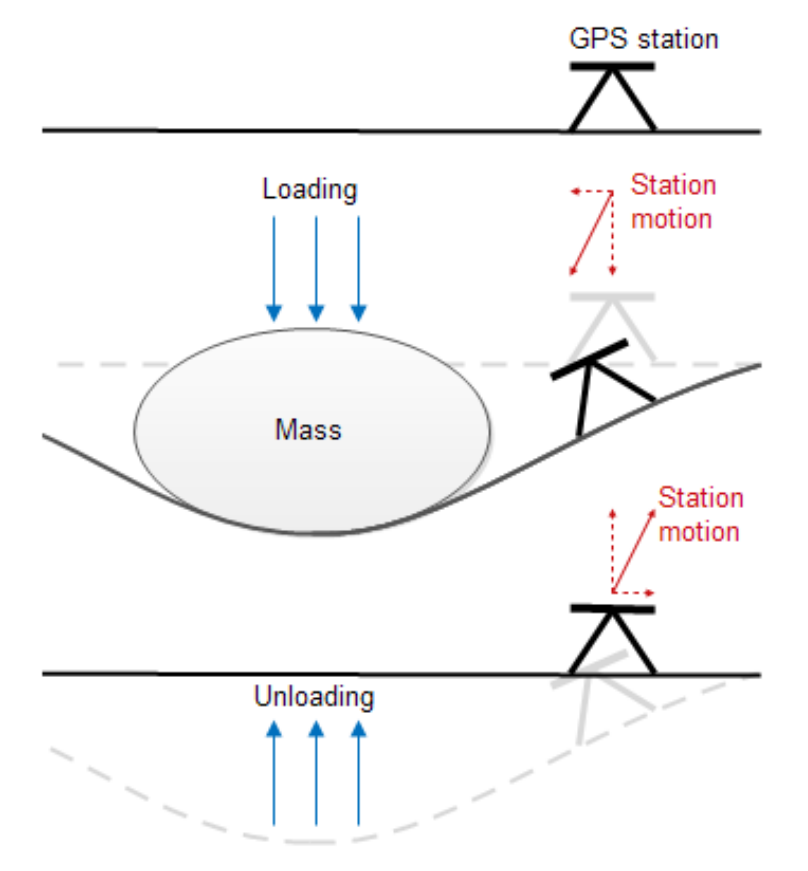
Porenvolumen 30% (P=0.30), GW-Spiegel Abnahme δH = 0.1 m \rightarrow Schwereeffekt 13 nm/s²

Instrumentelle Messunsicherheit von 10 nm/s² benötigt!

© Ludger Timmen, LUH

Nutzung von Auflastbeobachtung





GNSS

- Verteilung ortsabhängig
- Tägliche Koordinaten

SAR / InSAR

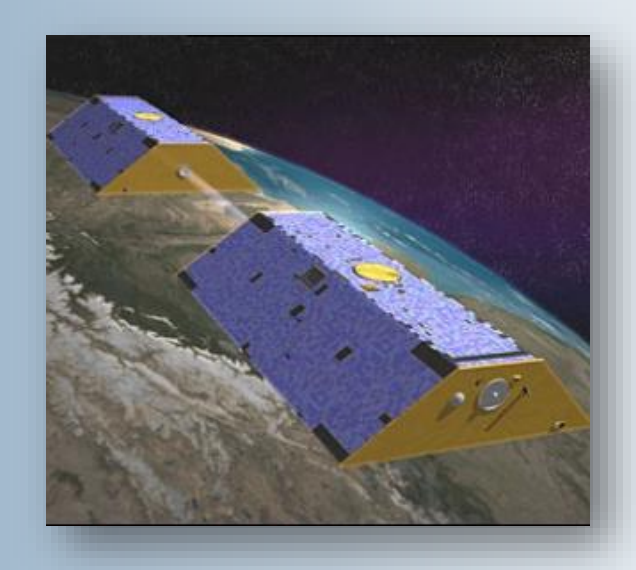
- Hohe räumliche Auflösung
- Zeitliche Auflösung variiert



Spatial scales



Large scales



Medium scales



Small scales



Sensorkombination



Modelling von Massenvariationen auf allen räumlichen und zeitlichen Skalen

